



VYSOKÉ UČENÍ TECHNICKÉ V BRNĚ  
BRNO UNIVERSITY OF TECHNOLOGY



FAKULTA CHEMICKÁ  
ÚSTAV CHEMIE A TECHNOLOGIE OCHRANY  
ŽIVOTNÍHO PROSTŘEDÍ  
FACULTY OF CHEMISTRY  
INSTITUTE OF CHEMISTRY AND TECHNOLOGY OF  
ENVIRONMENTAL PROTECTION

# PASIVNÍ VZORKOVÁNÍ POLÁRNÍCH ORGANICKÝCH KONTAMINANTŮ Z VOD

PASSIVE SAMPLING OF POLAR ORGANIC POLLUTANTS FROM WATER

DIPLOMOVÁ PRÁCE  
MASTER'S THESIS

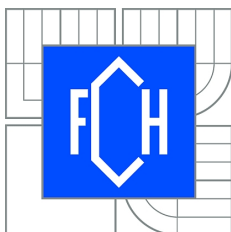
AUTOR PRÁCE  
AUTHOR

Bc. LIBUŠE VÍTKOVÁ

VEDOUCÍ PRÁCE  
SUPERVISOR

doc. Ing. JOSEF ČÁSLAVSKÝ, CSc.

BRNO 2011



Vysoké učení technické v Brně  
Fakulta chemická  
Purkyňova 464/118, 61200 Brno 12

## Zadání diplomové práce

Číslo diplomové práce:

**FCH-DIP0558/2010**

Akademický rok: **2010/2011**

Ústav:

Ústav chemie a technologie ochrany životního prostředí

Student(ka):

**Bc. Libuše Vítková**

Studijní program:

Chemie a technologie ochrany životního prostředí (N2805)

Studijní obor:

Chemie a technologie ochrany životního prostředí (2805T002)

Vedoucí práce

**doc. Ing. Josef Čáslavský, CSc.**

Konzultanti:

### Název diplomové práce:

Pasivní vzorkování polárních organických kontaminantů z vod

### Zadání diplomové práce:

1. Vypracování literární rešerše zaměřené na problematiku pasivního vzorkování organických polutantů z vod
2. Seznámení se s praktickým využíváním vzorkovačů typu POCIS
3. Analýza a vyhodnocení obsahů reziduí pesticidů v reálných vzorcích vod s využitím pasivního vzorkování

### Termín odevzdání diplomové práce: 13.5.2011

Diplomová práce se odevzdává ve třech exemplářích na sekretariát ústavu a v elektronické formě vedoucímu diplomové práce. Toto zadání je přílohou diplomové práce.

Bc. Libuše Vítková  
Student(ka)

doc. Ing. Josef Čáslavský, CSc.  
Vedoucí práce

doc. Ing. Josef Čáslavský, CSc.  
Ředitel ústavu

V Brně, dne 15.5.2009

prof. Ing. Jaromír Havlica, DrSc.  
Děkan fakulty

## **ABSTRAKT**

Tato diplomová práce se zabývá pasivním vzorkováním polárních látek z vod pomocí vzorkovačů typu POCIS (Polar Organic Chemical Integrative Sampler), které byly po dobu 4 týdnů exponovány v odpadní vodě na vtoku do městské čistírny odpadních vod Brno - Modřice a rovněž i na výpusti vyčištěné vody do řeky Svatky. Po ukončení expozice byly zachycené organické kontaminanty uvolněny ze sběrné fáze vzorkovače pomocí extrakce směsí methanolu, toluenu a dichlormethanu. Získané extrakty byly analyzovány pomocí kapalinové chromatografie s hmotnostně spektrometrickou detekcí a ionizací elektrosprejem. Dále byla využita dvojrozměrná plynová chromatografie s hmotnostně spektrometrickou detekcí, kdy byly analyzovány extrakty po trimethylsilylacii a methylaci. Separované látky byly identifikovány na základě jejich retenčního chování a hmotnostních spekter.

## **ABSTRACT**

This thesis deals with the passive sampling of polar compounds from water using passive samplers POCIS (Polar Organic Chemical Integrative Sampler). These devices were exposed for 4 weeks in the waste water at the inflow of municipal waste water treatment plant in Brno -Modřice, and also at the outflow of the treated water. After exposition sequestered compounds were released by extraction with a mixture of methanol, toluene and dichloromethane. Extracts were analysed by liquid chromatography/mass spectrometry with electrospray ionization. Further, methylated and trimethylsilylated extracts were analysed by orthogonal comprehensive two-dimensional gas chromatography with mass spectrometric detection. Separated compounds were identified on the base of their retention and mass spectra.

## **KLÍČOVÁ SLOVA**

Pasivní vzorkování, POCIS, odpadní voda, HPLC/MS, GCxGC-TOF MS, derivatizace

## **KEYWORDS**

Passive sampling, POCIS, waste water, HPLC/MS, GCxGC-TOF MS, derivatization

VÍTKOVÁ, L. Pasivní vzorkování polárních organických kontaminantů z vod. Brno: Vysoké učení technické v Brně, Fakulta chemická, 2011. 58 s. Vedoucí diplomové práce doc. Ing. Josef Čáslavský, CSc..

#### Prohlášení

Prohlašuji, že jsem diplomovou práci vypracovala samostatně a že všechny použité literární zdroje jsem správně a úplně citovala. Diplomová práce je z hlediska obsahu majetkem Fakulty chemické VUT v Brně a může být využita ke komerčním účelům jen se souhlasem vedoucího diplomové práce a děkana FCH VUT.

.....  
podpis studenta

#### Poděkování:

*Chtěla bych poděkovat doc. Ing. Josefu Čáslavskému, CSc., a paní Ing. Ludmile Mravcové, Ph.D. za cenné rady a všeestrannou pomoc při vedení této diplomové práce.*

## OBSAH

1	ÚVOD .....	8
2	TEORETICKÁ ČÁST .....	9
2.1	Pasivní vzorkování organických látek z vod .....	9
2.1.1	Rovnovážné pasivní vzorkovače .....	10
2.1.1.1	Solid Phase Micro Extraction (SPME) .....	10
2.1.1.2	Stir Bar Sorptive Extraction (SBSE).....	11
2.1.2	Integrativní pasivní vzorkovače .....	12
2.1.2.1	Membrane Enclosed Sorptive Coating Sampler (MESCO).....	13
2.1.2.2	Pasive In-Situ Concentration Extraction Sampler (PISCES).....	13
2.1.2.3	Semi-Permeable Membrane Device (SPMD) .....	14
2.1.2.4	Chemcatcher .....	15
2.2	Polar Organic Chemical Integrative Sampler (POCIS) .....	17
2.2.1	Popis .....	17
2.2.2	Princip, teorie .....	17
2.2.3	Vzorkované sloučeniny .....	18
2.2.4	Použití vzorkovače POCIS .....	21
2.3	Vysokoúčinná kapalinová chromatografie (HPLC) ve spojení s hmotnostní spektrometrií (MS) .....	23
2.4	Dvojrozměrná plynová chromatografie ve spojení s hmotnostní spektrometrií (GCxGC-TOF MS) .....	24
2.4.1	Derivatizace v plynové chromatografii .....	26
2.5	Čistírna odpadních vod v Brně-Modřicích .....	26
3	EXPERIMENTÁLNÍ ČÁST .....	29
3.1	Pasivní vzorkovače .....	29
3.1.1	Expozice vzorkovačů .....	29
3.1.2	Přeprava, očištění, uchování.....	29

3.2	Eluce, Extrakce .....	30
3.2.1	Použité chemikálie .....	30
3.2.2	Použité zařízení a přístroje .....	30
3.2.3	Postup .....	30
3.3	Analýza .....	31
3.3.1	Analýza pomocí LC/MS.....	31
3.3.1.1	Parametry analýzy.....	31
3.3.2	Analýza pomocí GCxGC/MS.....	31
3.3.2.1	Parametry dvojrozměrné analýzy .....	32
3.3.2.2	Parametry jednorozměrné analýzy.....	32
3.3.2.3	Trimethylsilylace .....	33
3.3.2.3.1	Chemikálie, zařízení .....	33
3.3.2.3.2	Postup.....	33
3.3.2.4	Methylace.....	33
3.3.2.4.1	Chemikálie, zařízení .....	33
3.3.2.4.2	Příprava diazomethanu .....	34
3.3.2.4.3	Postup.....	34
4	VÝSLEDKY A DISKUZE .....	35
4.1	Analýza pomocí kapalinové chromatografie .....	35
4.1.1	Optimalizace: volba módu, pozitivní či negativní .....	35
4.1.2	Optimalizace: volba mobilní fáze .....	35
4.1.3	Rozdíl mezi vzorky na vstupu a na výstupu.....	36
4.1.4	Vliv okolního prostředí dle období vzorkování .....	36
4.2	Analýza pomocí plynové chromatografie .....	37
4.2.1	Sloučeniny identifikované jako trimethylsilylderiváty .....	37
4.2.1.1	Ukázka 2D chromatogramu .....	37

4.2.1.2	Expozice POCIS v období listopad-prosinec.....	38
4.2.1.3	Expozice v průběhu měsíce března.....	40
4.2.2	Identifikované sloučeniny po methylaci .....	41
4.2.2.1	Expozice v období listopad - prosinec .....	42
4.2.2.2	Expozice v průběhu měsíce března.....	43
5	ZÁVĚR .....	45
6	SEZNAM POUŽITÝCH ZDROJŮ .....	46
7	SEZNAM POUŽITÝCH ZKRATEK A SYMBOLŮ .....	52
8	REJSTŘÍK OBRÁZKŮ .....	54
9	REJSTŘÍK TABULEK.....	55
10	PŘÍLOHA .....	56
10.1	Fotografie z průběhu získávání extraktu.....	56

## **1 ÚVOD**

V současné době se používá mnoho chemických látek, které se aplikují v širokém měřítku. Často jsou používány i ve větším množství než je nezbytně nutné. Typickými příklady jsou léčiva (humánní i veterinární) nebo pesticidy. Použití pesticidů má své výhody i nevýhody. Jejich výhodou je maximalizace výnosu a kvality zemědělských produktů. Jejich nevýhodou je negativní vliv na lidské zdraví a životní prostředí. Tyto sloučeniny vstupují do životního prostředí nebo jsou tam vnášeny cíleně a jejich přítomnost může mít řadu negativních důsledků. Proto je nutno tyto sloučeniny v životním prostředí dlouhodobě sledovat a nalézt vhodné metody pro jejich monitoring.

Některé sloučeniny můžeme odbourat v čistírnách odpadních vod. Ze statistické ročenky ministerstva životního prostředí za rok 2009 vyplývá, že z čistíren odpadních vod (ČOV) je druhým největším znečištěvatelem ČOV Brno – Modřice spolu s ČOV Ostrava – Přívoz. Nutno dodat, že vypouštěné znečištění je třikrát menší než znečištění vypouštěné ČOV Praha. Je nutné sledovat tyto kontaminanty a nalézat nové metody pro jejich stanovení.

Pro jejich sledování a stanovení je mnoho metod. Jsou voleny v závislosti na druhu znečištění. Vzorky můžeme odebírat jednorázově. Tyto jednorázové odběry umožňují zjistit znečištění v době odběru vzorku. Pro získání hodnot dlouhodobého znečištění je vhodnou metodou dlouhodobý monitoring.

Pasivní vzorkování je velmi vhodné pro účely dlouhodobého monitoringu, jehož cílem je získat informace o průměrných koncentracích sledovaných látek v dlouhodobějším časovém horizontu (den, týden, měsíc). Je předmětem této diplomové práce, která je hlavně zaměřena na sledování kontaminace odpadních vod s použitím vzorkovačů POCIS a jejich nasazení v čistírnách odpadních vod.

## 2 TEORETICKÁ ČÁST

### 2.1 Pasivní vzorkování organických látek z vod

Pasivní vzorkování je metoda, která slouží k monitoringu polutantů v životním prostředí. Je to technika založená na volném toku molekul analytu ze vzorkovaného média do sběrného média a to na základě rozdílu chemických potenciálů analytu v obou médiích [1], [2]. Volný tok probíhá do dosažení rovnováhy v celém systému nebo do ukončení procesu vzorkování operátorem.

Je to dynamicky se rozvíjející metoda, protože jsou stále vyvíjeny další typy vzorkovačů. Jsou to zařízení obsahující sorpční medium, kde jsou zachycovány kontaminanty. Stále probíhající výzkum má za cíl lepsí porozumění kinetice příjmu a z toho vyplývajícího určení vzorkovací rychlosti pasivních vzorkovačů a kvalitnějšímu vzorkování (reprodukčnost, robustnost a schopnost pracovat v různých environmentálních podmínkách, kalibrace oproti aktivnímu vzorkování) [3]. V tab. 1 můžeme vidět, jaké výhody a nevýhody mají pasivní vzorkovače. Mezi jejich největší výhody patří snadná manipulace a nezávislost na zdroji energie. Mezi nevýhody, které se musí vzít v potaz, patří ovlivnění okolním prostředím.

**Tab. 1: Výhody a nevýhody pasivních vzorkovačů [2], [3], [4]**

Výhody	Nevýhody
snadná manipulace	obtížnější kvantifikace
vhodné pro monitoring	neposkytuje informaci o maximální a minimální koncentraci vzorkovaných polutantů během expozice vzorkovače
použití bez zdroje energie	jsou ovlivňovány okolním prostředím
nízká cena zařízení a nízké náklady	

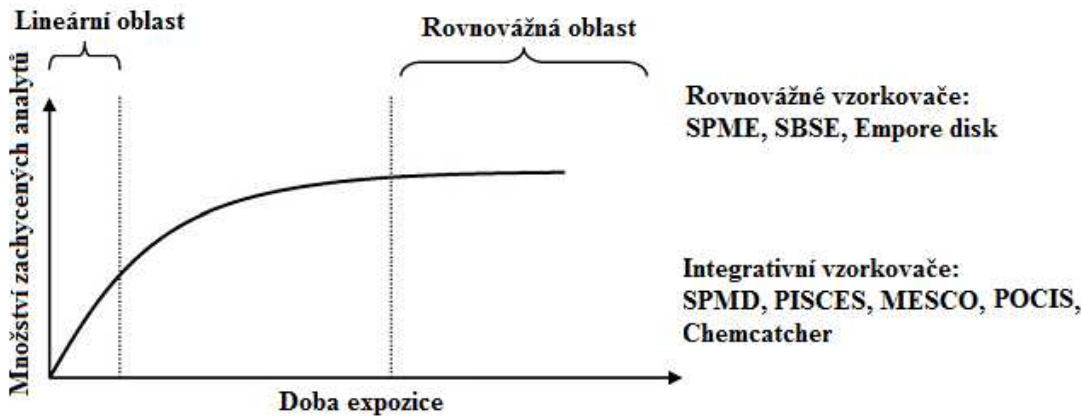
Pasivní vzorkovače jsou zařízení obsahující sorpční medium, kde jsou zachycovány kontaminanty. Pro tyto vzorkovače je typické, že se skládají z membrány a sorbantu, které jsou vhodné pro sledované analyty. Při vzorkování probíhá molekulární difuze, která je řízena Fickovými zákony.

Kinetiku příjmu polutantů pasivními vzorkovači lze popsat rovnicí reakce prvního řádu. Byl vytvořen matematický model uvedený níže:

$$C_s(t) = C_w \frac{k_1}{k_2} (1 - e^{-k_2 t}), \quad (1)$$

kde  $C_s(t)$  je koncentrace analytu ve vzorkovači v čase expozice  $t$ ,  $C_w$  je koncentrace analytu ve vodním prostředí,  $k_1$  a  $k_2$  jsou rychlostní konstanty příjmu a zpětné difuze polutantu [5].

Pasivní vzorkovače jsou využívány ve dvou režimech a to v integrativním a v rovnovážném. Toto rozdělení popisuje obr. 1.



Obr. 1: Rozdělení pasivních vzorkovačů [3], [6]

### 2.1.1 Rovnovážné pasivní vzorkovače

U těchto vzorkovačů je nižší kapacita sběrné fáze než u integrativních vzorkovačů. Díky tomu je pro rovnovážné vzorkovače charakteristické relativně rychlé dosažení rovnováhy mezi kontaminanty ve vzorkovaném a sběrném médiu, která je charakterizována vyrovnáním rychlostí příjmu polutantů vzorkovačem a jejich úniku zpět do prostředí. Proto je rovnice (1) upravena do níže uvedeného tvaru:

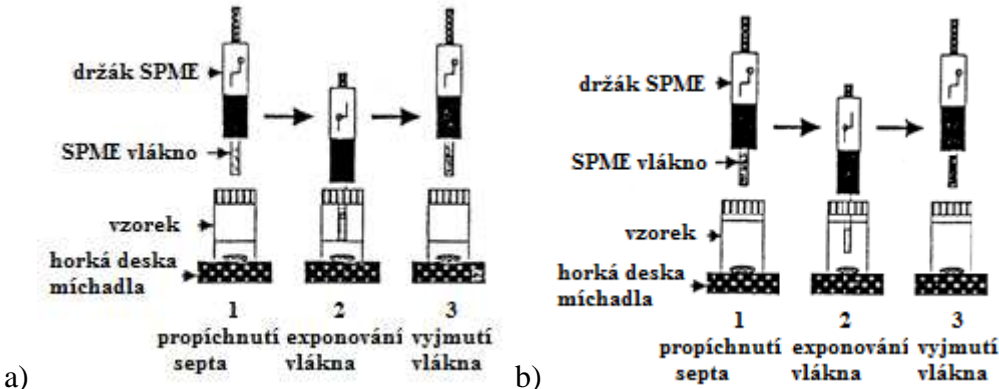
$$C_s = C_w \frac{k_1}{k_2} = C_w K, \quad (2)$$

kde  $K$  je rozdělovací koeficient [5] mezi vzorkovanou a sběrnou fází. S jeho pomocí lze na základě množství polutantů zachycených vzorkovačem vypočítat jejich koncentrace ve vzorkovaném médiu.

#### 2.1.1.1 Solid Phase Micro Extraction (SPME)

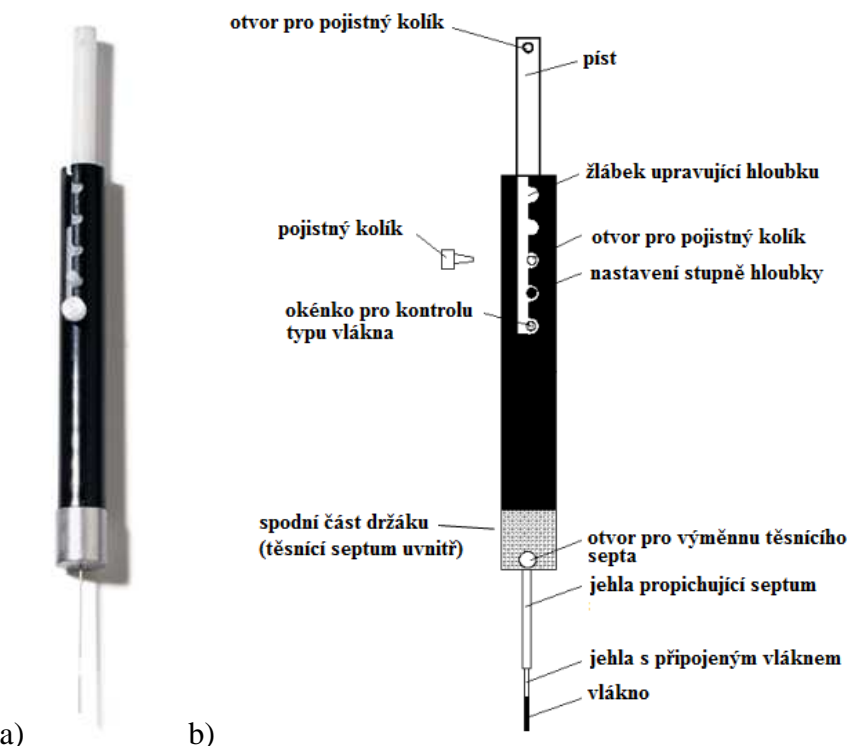
Mikroextrakce tuhou fází byla poprvé popsána v roce 1989 [7]. Je to jedna z technik přípravy vzorku bez použití rozpouštědla. SPME se používá pro odběr či izolaci a současně i zkonzentrování analytů z plynných či kapalných médií a nepřímo i z pevných vzorků.

Jsou dva způsoby odběru vzorku. První způsob je odběr z matrice vzorku, kdy je vlákno ponořeno do matrice (obr. 2a). Druhým způsobem je odběr z prostoru nad matricí (obr. 2b).



Obr. 2: Ukázka obou způsobů odběru vzorku, a) odběr z matrice, b) odběr z prostoru nad matricí [8]

Vzorkování analytu je založeno na transportu a sorpci na vláknu SPME potaženém tenkou vrstvou stacionární fáze. Tyto vlákna mohou být nahrazena kapilárou s upraveným vnitřním povrchem, která je z nerezové oceli. Schéma je uvedeno na obr .3. Stacionární fáze soustředí analyty na povrchu vlákna a tím je SPME vhodné k přímému použití v plynové nebo kapalinové chromatografii.



Obr. 3: a) vzorkovač SPME [9], b) schéma SPME používané k vzorkování vod [10]

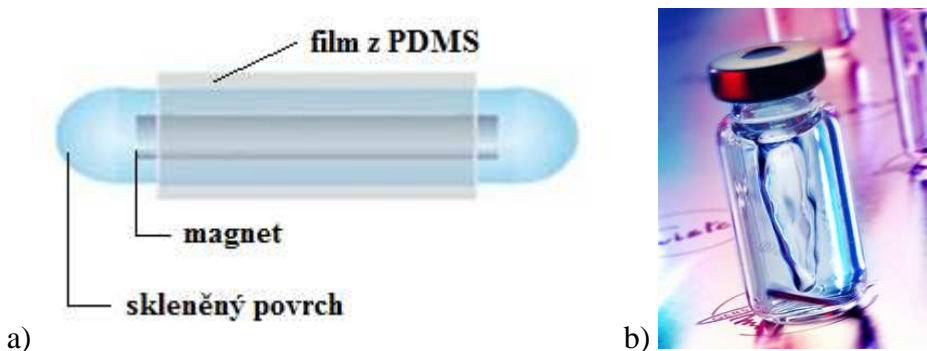
SPME je kombinací pasivní a dynamické metody. Odběr pomocí SPME je velice snadný. Doba odběru potřebná k dosažení rovnováhy je v řádu několika sekund až minut pro těkavé sloučeniny a v řádu několika minut až půl hodiny na POPs. Vzorkování tedy není vhodné pro dlouhodobý monitoring, jelikož získané výsledky jsou srovnatelné pouze s výsledky získanými jednorázovým vzorkováním [11].

SPME se používá jak pro vzorkování vod, půd i vzduchu. Ve vodách se touto metodou stanovují například BTEX, PAU a pesticidy [12].

#### **2.1.1.2 Stir Bar Sorptive Extraction (SBSE)**

SBSE bylo poprvé použito v roce 1999 skupinou kolem Pata Sandry na vzorkování kapalné fáze [13]. Odběr vzorku je prováděn přímým ponořením do kapalného vzorku. Využívá se termální desorpce. Vzorek byl poté analyzován plynovou chromatografií (GC) nebo ve spojení s hmotnostním spektrometrem. Pro analyty, které nejdou stanovit pomocí GC, bylo využito desorpce kapalinou v kombinaci s HPLC [14].

Konstrukce SBSE se skládá z magnetického míchadélka které má skleněný povrch (obr. 4). Skleněný povrch je potažen velmi tenkým filmem z polydimethylsiloxanu (PDMS) na kterém dochází k sorpci analytů.



Obr. 4: a) schéma SBSE [15], b) SBSE ve vialce [16]

Hlavní výhodou sorpce je inertnost PDMS vhodná pro labilní, mírně až středně polární a reaktivní sloučeniny bez nebezpečí katalytického rozkladu. Další výhodou je linearita sorpční izotermy, která je nutná pro kvantitativní analýzu. Nevýhodou je nízká kapacita vzorkovače [17].

Tento vzorkovač vyrábí firma Gerstel pod obchodním názvem Twister<sup>TM</sup> [18]. SBSE je vhodné pro kvantitativní analýzu s extrémně nízkým detekčním limitem (pod ppb), navíc je to reprodukovatelná metoda. Tento vzorkovač může být opakován používán.

Místo PDMS se dají použít i jiné materiály vhodné pro konkrétní skupinu analytů. Míchadlo potažené alkyldiolsiloxanem je vhodné pro kofein a jeho metabolity získané z biologických roztoků. Dalším typem je míchadlo potažené molekulárně vtištěným polymerem používané například k extrakci polycyklických aromatických uhlovodíků z vzorků mořské vody. Dále byly syntetizovány polyuretanové pěny používané jako nátěr. Byly použity například na odběr vzorků triazinových herbicidů z podzemních či povrchových vod [17].

### 2.1.2 Integrativní pasivní vzorkovače

Integrované vzorkovače působí v kinetické, časově integrační fázi příjmu zobrazené na křivce (obr. 1) zachycující závislost množství zachycených analytů na době expozice. V této fázi příjmu je rychlosť přenosu hmoty na sběrnou fázi lineárně úměrná rozdílu chemických potenciálů kontaminantu ve sběrné fázi a ve vzorku a koncentrací kontaminantů ve vzorkovaném médiu. V době odběru vzorků nedochází k ustálení rovnováhy s okolním prostředím. Proto se předpokládá, že míra přenosu hmoty nebo vzorkovací rychlosť je konstantní po celou dobu odběru vzorků a v důsledku toho je vztah mezi koncentrací cílových analytů v matrici vzorku a množství extrahovaných analytů je lineární. V této fázi vzorkování je rychlosť zpětného úniku analytu ze sběrné fáze do vody zanedbatelná, vzorkovač pracuje v lineárním režimu příjmu. Rovnice (1) je zredukovaná do tvaru

$$C_s(t) = C_w k_1 t, \quad (3)$$

Tato rovnice se může upravit do tvaru

$$M_s(t) = C_w R_s t, \quad (4)$$

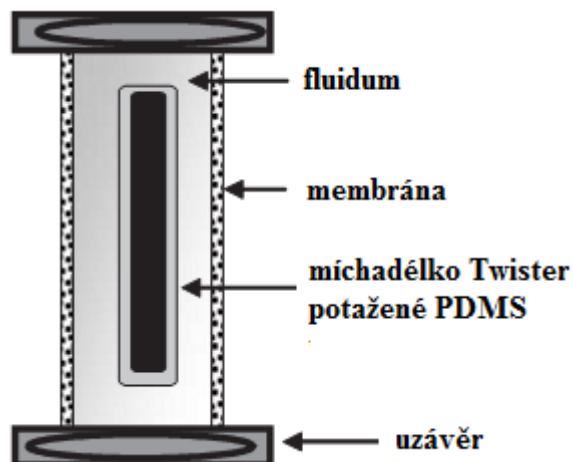
kde  $M_s$  je množství analytu ve sběrné fázi vzorkovače a  $R_s$  je konstanta úměrnosti k rychlosti vzorkování [5].

Pro tyto vzorkovače je typické, že mají vysokou kapacitu sběrné fáze. Na základě množství zachycených polutantů po celou dobu expozice je získána informace o průměrné koncentraci polutantu. Proto tyto vzorkovače poskytují časově vážený průměr (TWA) koncentrace cílových analytů ve vzorku matrice za průměrnou dobu expozice [6].

### **2.1.2.1 Membrane Enclosed Sorptive Coating Sampler (MESCO)**

První zmínka o tomto vzorkovači byla v článku z roku 2001 [19]. Tento vzorkovač vznikl úpravou techniky bezrozpuštědlové extrakce (SBSE). Tato technika byla uzpůsobena k integrativnímu vzorkování perzistentních, hydrofobních organických polutantů ve vodném prostředí.

Vzorkovač je složený z míchadélka Twister (SBSE), které se volně pohybuje ve vakuu z regenerované celulózy, sloužící jako polopropustná membrána, naplněném destilovanou vodou a uzavřeném na obou koncích svorkami [11], [19]. Schéma je uvedeno na obr. 5.



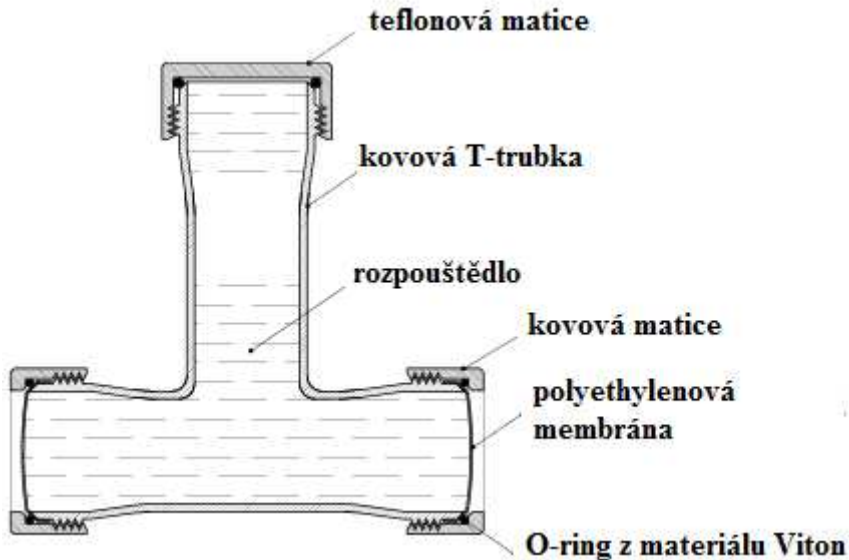
Obr. 5: Schéma vzorkovače MESCO [20]

Selektivita vzorkovače je zvýšena jednak oddělením rozpuštěných molekul od koloidů během difuze, jednak tím, že cílové hydrofobní analyty jsou selektivně extrahovány z roztoku kolem filmu z PDMS. Kombinuje pasivní vzorkování se zkonzentrováním bez použití rozpouštědla a následnou desorpcí analytů přímo do chromatografického systému. Mezi výhody této metody patří nízká cena, lehká přenositelnost z důvodu miniaturizace. Tato metoda byla úspěšně použita pro pesticidy, polychlorované bifenylly a polycyklické aromatické uhlovodíky [11].

### **2.1.2.2 Pasive In-Situ Concentration Extraction Sampler (PISCES)**

Tento vzorkovač byl poprvé použit v roce 1993 [21]. Vzorkovač je sestaven z mosazné trubky ve tvaru T a polopropustné membrány z polyethylenu. Konstrukce vzorkovače je na obr. 6. Trubka je naplněna rozpouštědlem. Při vzorkování dochází k difuzi kontaminantů z vody do rozpouštědla přes polopropustnou membránu. Při vzorkování hydrofobních látek jako PCB se tyto látky hromadí v nepolárním hexanu [22]. Místo hexanu může být použit

i isooktan. Hexan je hořlavější než isooktan, což způsobuje vyšší riziko při manipulaci se vzorky. Výhodou hexanu je snadné zkonzentrování odpařováním a rovněž těkavější sloučeniny jsou lépe odděleny při analýze plynovou chromatografií. Isooktan je méně těkavý, ale doporučuje se jako rozpouštědlo například pro xylen [23], [24].



Obr. 6: Schéma PISCES [11]

Tento vzorkovač je vhodný pro vodné vzorky s nízkou koncentrací kontaminantů [11]. Používá se pro stanovení polychlorovaných bifenylů a pesticidů [25], [26].

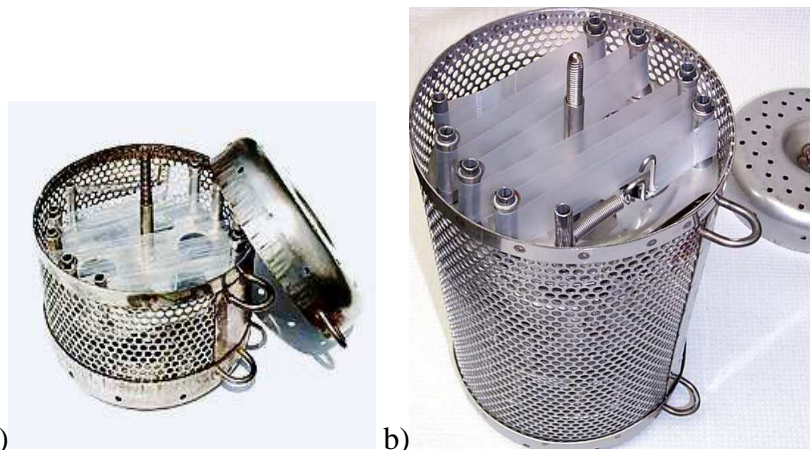
#### **2.1.2.3 Semi-Permeable Membrane Device (SPMD)**

SPMD byl vyvinut v kolektivu J. N. Huckinse a to v roce 1990 pro studium biologické dostupnosti [27]. Tento vzorkovač je nejpoužívanější z pasivních vzorkovačů. Používá se na vzorkování hydrofobních organických kontaminantů a poskytuje časově vážený průměr koncentrace cílových analytů ve vzorku matrice za průměrnou dobu expozice. Doba expozice je v řádu dnů až měsíců. SPMD je reprodukovatelná metoda vhodná i pro posouzení toxicity [28].

Skládá se z LDPE membrány ve tvaru ploché trubice naplněné trioleinem, na obou koncích zatavené [5]. SPMD je před expozicí upevněno do držáků různého provedení (obr. 7), příklad koše pro vzorkování vody je na obr. 8.



Obr. 7: Držáky různého provedení pro expozici SPMDs [29]

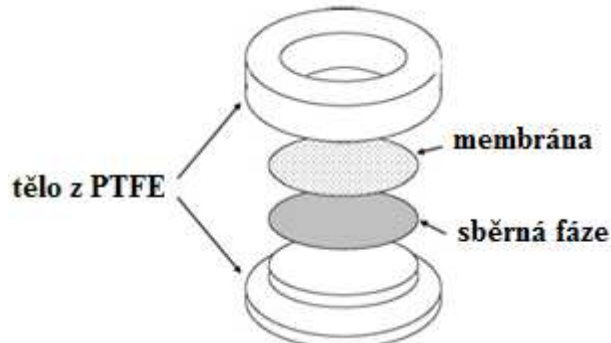


Obr. 8: a) malý koš pro 1 – 2 držáky [29], b) velký koš pro 1 – 5 držáků SPMD [30]

SPMD se používá pro hydrofobní sloučeniny, které mají  $\log K_{ow}$  vyšší než 3. Používá se pro vzorkování širokého spektra látek např. polychlorované bifenyly, organochlorované pesticidy, polychlorované dibenzo-*p*-dioxiny a furany [5], organofosfáty, pyrethroidní pesticidy a další nepolární látky [28].

#### 2.1.2.4 Chemcatcher

Tento vzorkovač byl vyvinut na Univerzitě v Portsmouth a to v rámci projektu Evropské Unie [31]. Jeho tělo je z PTFE, dále obsahuje difuzní membrány a přijímající fázi (obr. 9). Podle toho jaké látky chceme zachytit, volíme různé typy fáze a membránu.



Obr. 9: Základní konfigurace vzorkovače Chemcatcher [32]

Pro nepolární látky se používá polyethylenová membrána, pro polární se používá polyethersulfonová membrána. Tento typ vzorkovače je i vhodný pro zachycení těžkých kovů. V tomto případě se použije acetylcelulosová nebo polyethersulfonová membrána. Více viz tabulka 2.

**Tab. 2: Kombinace sorbentu a membrány pro různé sloučeniny [33]**

<b>Stanovované sloučeniny</b>	<b>Sorbent</b>	<b>Materiál membrány</b>
Polární organické sloučeniny	C18 Empore disk	polysulfonová
Hydrofóbní sloučeniny	C18 Empore disk	nízkohustotní polyethylen (LDPE)
Kovy	Chelatační disk	acetátová celulóza (CA) potažená Nafionem <sup>1</sup>
Anorganická rtuť	Chelatační disk	polyethersulfonová
Organocín	C18 Empore disk	CA
Polární a semi-polární pesticidy	SDB-XC Empore disk	-
Léčiva	SDB-RPS Empore disk	-

Pozn. :<sup>1</sup> ...Nafion je syntetický kopolymer tetrafluoroethylenu (Teflon) a perfluoro-3,6-dioxa-4-methyl-7-okten-sulfonové kyseliny [34]

Používá se k zachycení polycyklických aromatických uhlovodíků (PAU), polychlorovaných bifenylů (PCB), organochlorových pesticidů a triazinových pesticidů, rezidua léčiv [35] a těžkých kovů.

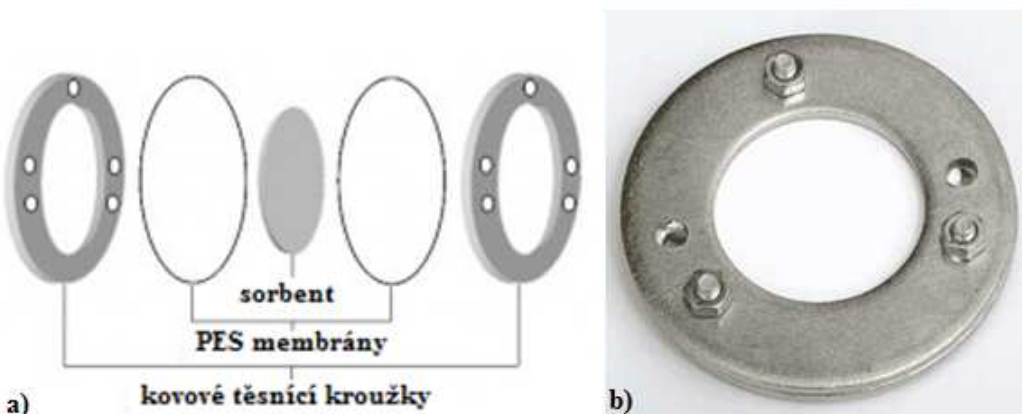
Chematcher byl například nasazen na 16 evropských tocích z a účelem monitoringu 10 polárních a semi-polárních pesticidů [36]. V České republice byl tento typ vzorkovače použit na stanovení PAU, PCB a organochlorovaných pesticidů v řece Labi [35].

## 2.2 Polar Organic Chemical Integrative Sampler (POCIS)

Je to první vzorkovač výhradně používaný pro vzorkování polárních organických látek z vod. Byl patentován v roce 2002 kolektivem J. D. Pettyho [37]. Tento vzorkovač se používá na vzorkování jak hydrofilních, tak hydrofobních organických látek, které charakterizují hodnoty rozdělovacího koeficientu n-oktanol/voda  $K_{ow}$  v rozmezí od 3 do 4 [20].

### 2.2.1 Popis

Vzorkovač POCIS je tvořen dvěma polyethersulfonovými membránami (PES), které mají mezi sebou uzavřen sorbent sloužící jako sběrná fáze. Vzhledem k tomu, že membrány nemohou být tepelně uzavřeny, byly jako těsnící médium použity dva sešroubované kovové kroužky. Schéma vzorkovače je zobrazeno na obr. 10.



Obr. 10: a) Schéma POCIS [38], b) POCIS ve skutečnosti [39]

Vzorkovač POCIS má dvě základní konfigurace. První z konfigurací je univerzální, používá trifázovou směs Isolute ENV+ (hydroxylovaný kopolymer polystyrenu a divinylbenzenu [40]), která tvoří 80% hmotnosti sorbantu, a v něm rozptýlený Ambersorb 1500 na S-X3 Biobead. Místo Ambersorb 1500 se může použít i Ambersorb 572. Tato konfigurace je univerzální. Používá se na vzorkování pesticidů, přírodních a syntetických hormonů a dalších kontaminantů z vod [20]. Další konfigurace obsahuje sorbent Oasis HLB používaný i do kolonek na extrakci pevnou fází (SPE). Tato verze se používá pro hydrofilní léčiva z důvodu přítomnosti více funkčních skupin u léčiv, které se vážou na trifázový systém a tím znemožňují jejich eluci ze sorbantu. Výhodou tohoto vzorkovače je možnost změny sorbantu dle druhu látek, na které se vzorkovač používá.

### 2.2.2 Princip, teorie

Rozpuštěné hydrofilní organické látky přecházejí z okolního prostředí přes polopropustnou membránu do sorbantu. Částice, mikroorganizmy a makromolekuly v průměru větší než 100 nm jsou selektivně vyloučeny. Při delší expozici (42 týdnů) je možné znečištění zařízení. Použitá PES membrána je vhodná pro snížení biologického znečištění oproti jiným polymerním materiálům používaných jako membrány v pasivních vzorkovačích. Efektivní

vzorkovací plocha je  $41 \text{ cm}^2$  a hmotnost sorbentu cca 228 mg, tím se udává poměr plochy membrány k hmotnosti sorbentu, který je cca  $180 \text{ cm}^2/\text{g}$  [41].

K odhadu koncentrace analytů z koncentrace v pasivním vzorkovači musí být splněny tři podmínky. První podmínkou je že, koncentrace ve vzorkovači musí být úměrná koncentraci v prostředí a rychlostní konstanty pro chemickou výměnu a rozdělovací koeficienty musí být nezávislé na koncentraci analytu v prostředí. Dále, že rychlostní konstanty a rozdělovací koeficient pro cílové analyty použitelné v podmírkách *in-situ* musí být známé. Poslední podmínkou je, že proces vzorkování by neměl významně snižovat koncentraci analytu ve vzorkovaném médiu. Akumulace polutantů v pasivním vzorkovači je řízena kinetikou prvního řádu.

### 2.2.3 Vzorkované sloučeniny

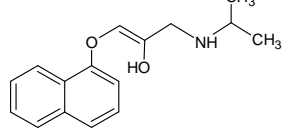
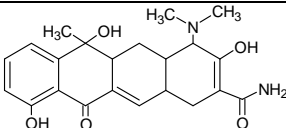
Tento vzorkovač se používá pro zachycení polárních látek, jejichž  $\log K_{ow}$  je v rozmezí od 3 do 4. Hodnota 3 se používá jako mezní bod mezi hydrofilními a hydrofobními sloučeninami. Vzorkované hydrofilní látky ve své struktuře většinou obsahují jednu či více polárních skupin nebo mají významný dipólový moment.

Pomocí vzorkovače POCIS se stanovuje široké spektrum sloučenin od pesticidů (triazinové herbicidy, amidové herbicidy a organofosfátové insekticidy) až po léčiva, hormony, a další [20]. V tabulkách níže jsou znázorněny struktury sloučeniny a jejich zařazení. V tab. 3 a 4 můžeme vidět některá léčiva, např. acetaminofen, azitromycin. Do této skupiny patří i sulfonamidy a tetracykliny. Pomocí vzorkovače POCIS můžeme zachytit i metamfetamin a 3,4-methylendioxymetamfetamin (MDMA) jejichž struktura je uvedena v tab. 5.

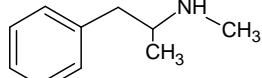
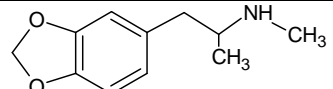
**Tab. 3: Některá léčiva zachycená vzorkovači POCIS a jejich struktura, 1. část**

	Název	Zařazení	Struktura
Léčiva	acetaminofen	antipyretikum	
	azithromycin	antibiotikum	
	karbamazepin	antiepileptikum	

**Tab. 4: Některá léčiva zachycená vzorkovačí POCIS a jejich struktura, 2. část**

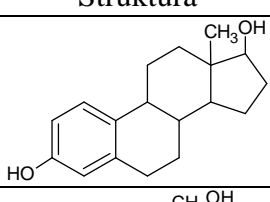
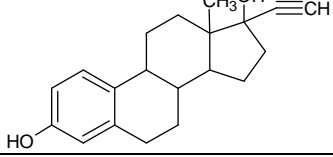
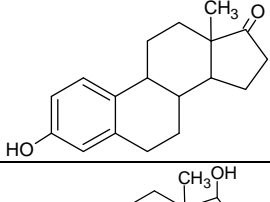
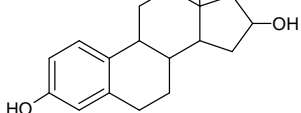
	Název	Zařazení	Struktura
Léčiva	propranolol	antihypertenzivum	
	tetracyklin	antibiotikum	

**Tab. 5: Některé drogy zachycené pomocí vzorkovače POCIS, MDMA je také znám pod názvem 3,4-methylendioxymetamfetamin**

	Název	Struktura
drogy	metamfetamin	
	MDMA	

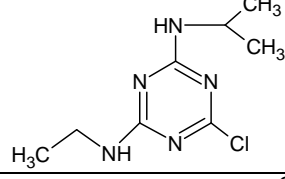
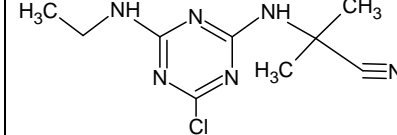
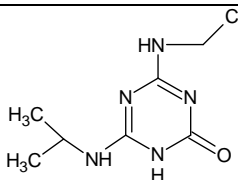
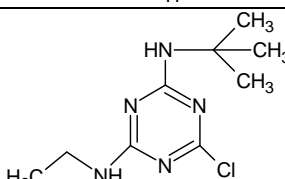
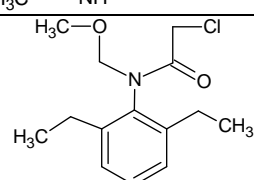
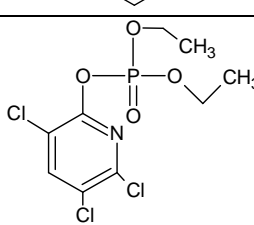
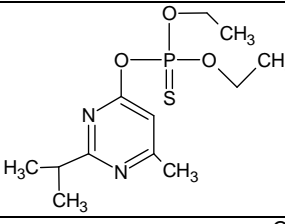
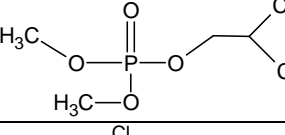
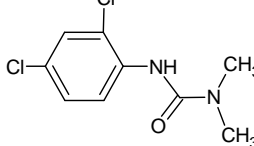
Mezi další látky zachycené pomocí vzorkovače POCIS patří hormony. V tab. 6 můžeme vidět strukturu např.  $17\beta$ -estradiolu a estriolu.

**Tab. 6: Hormony zachycené vzorkovačí POCIS**

	Název	Struktura
hormony	$17\beta$ -estradiol	
	$17\alpha$ -Ethylenestradiol	
	estron	
	estriol	

Mezi další významnou skupinu sloučenin patří pesticidy. V následující tabulce (tab. 7, 8) je znázorněna struktura vybraných pesticidů, mezi něž patří cyanazin, atrazin, alachlor a další.

**Tab. 7: Vybrané pesticidy stanovované pomocí POCIS, 1. část**

	Název	Zařazení	Struktura
pesticidy	atrazin	triazinový herbicid	
	cyanazin	triazinový herbicid	
	hydroxyatrazin	triazinový herbicid	
	terbutylazin	triazinový herbicidy	
	alachlor	acetanilidový herbicid	
	chlorpyrifos	insekticid	
	diazinon	insekticid	
	dichlorvos	organofosfátový insekticid	
	diuron	herbicid	

**Tab. 8: Vybrané pesticidy stanovované pomocí POCIS, 2. část**

	Název	Zařazení	Struktura
Pesticidy	isoproturon	herbicid	
	metolachlor	herbicid	

Vzorkovač POCIS také zachycuje i některé průmyslově vyráběně látky a látky pro domácí použití. Jsou to např. alkylfenoly, kofein, N, N-diethyl-m-toluamid (DEET) a indol. V tab. 9 jsou znázorněny struktury některých výše uvedených látek.

**Tab. 9: Některé průmyslově vyráběné sloučeniny a jejich struktura.**

	Název	Zařazení	Struktura
Výrobky z průmyslu	benzofenon	ochrana před UV-A a UV-B zářením	
	kofein	alkaloid	
	DEET	repelentní látka	
	triclosan	antiseptikum, desinfekcium	

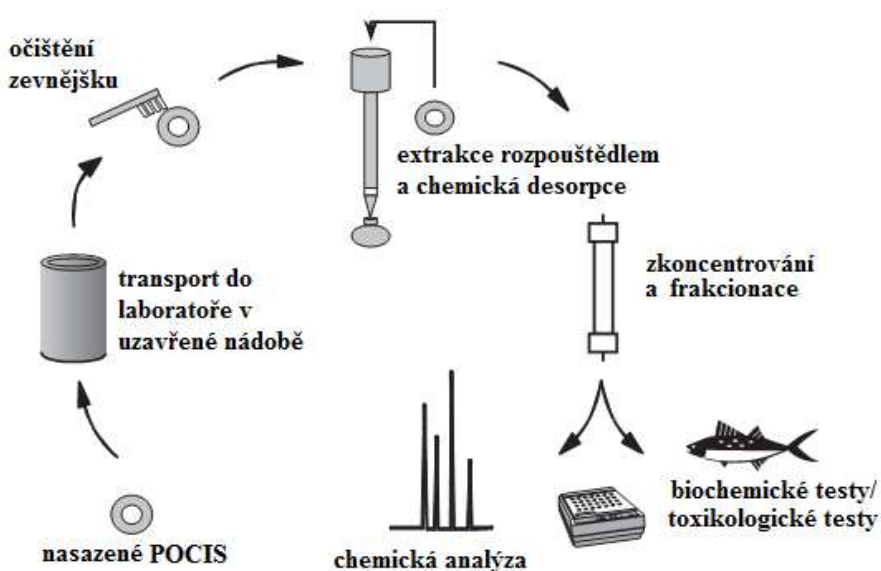
## 2.2.4 Použití vzorkovače POCIS

Vzorkovače jsou šrouby uchyceny na nosič, který pojme 3 vzorkovače (obr. 11a), tyto nosiče jsou zasazeny do vzorkovacího koše (obr. 11b). Tyto koše jsou pro jeden nebo pro tři nosiče. Koš se vzorkovači je ukotven na místo vzorkování pomocí kovových svorek a ocelových lanek.



Obr. 11: a) Nosič tří disků POCIS v malém koši; b) Velký koš na vzorkovače, v popředí vzorkovače POCIS a SPMD na nosičích [39]

Po vyzvednutí vzorkovače z vzorkovaného media se z koše vyjme nosič, z kterého se odejmou disky vzorkovače. Poté následuje jemné očištění, které se provádí jemným kartáčkem za současného omývání POCIS pod proudem vody. Musí se dbát na to, aby nedošlo k poškození membrán. Po uvolnění těsnících kroužků a oddělení membrán je sorbent přenesen do kolony. Poté následuje eluce a frakcionace zachycených látek obdobnými postupy jako v kapalinové chromatografii. Objem roztoku s cílovými analyty je zmenšen pomocí vakuové odparky a pomocí proudu dusíku. Poté následuje finální analýza. Vše je znázorněno na obr. 12. Vzorkovač POCIS může být použít i na bio-analýzu či testy toxicity.



Obr. 12: Schéma nakládání s vzorkovači POCIS [20]

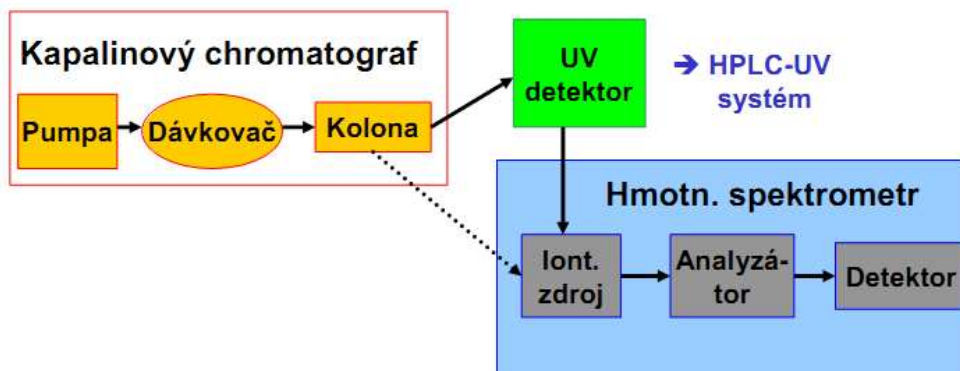
Získaný extrakt může být analyzován plynovou chromatografií s detektorem elektronového záchytu (ECD) či s plamenoionizačním detektorem (FID). Dále se používá plynová chromatografie spojená s hmotnostní spektrometrií či kapalinová chromatografie s detektorem diodového pole (DAD) nebo ve spojení s hmotnostním spektrometrem. Další možností je

i analýza získaných extractů pomocí biochemických technik včetně techniky MICROTOX®, estrogenového testu (YES) a androgenního testu (YAS) [20].

Vzorkovač POCIS byl například použit týmem J. R. Bidwella na monitoring pesticidů, léčiv a sterolů v jeskynních prudech na severovýchodě Oklahomy a severozápadu Arkansasu [42]. Také byl použit na stanovení léčiv v ústí řeky Seiny [43].

## 2.3 Vysokoúčinná kapalinová chromatografie (HPLC) ve spojení s hmotnostním spektrometrem (MS)

Kapalinová chromatografie je jedna ze separačních technik. Je to vhodná metoda pro analýzu tepelně nestálých a netěkavých sloučenin. Separace složek je založena na interakci vzorku se stacionární fází i mobilní fází (MF). Doba zdržení vzorku v koloně závisí na afinitě analytu k stacionární i mobilní fázi. Je více mechanizmů separace např. adsorpce, dělení na základě rozpustnosti a další. Kapalinový chromatograf u HPLC je složen z čerpadla, dávkovače vzorku, kolony, detektoru a vyhodnocovacího zařízení. Na obr. 13 je znázorněno schéma kapalinového chromatografu ve spojení s hmotnostním spektrometrem.



Obr. 13: Schéma kapalinového chromatografu s hmotnostním spektrometrem [44]

Čerpadlo zajišťuje konstantní průtok mobilní fáze. Nejčastěji se používají pístová čerpadla. Při pohybu pístu dochází k vytlačení malého objemu mobilní fáze do systému a při zpětném pohybu pístu se komora zaplní mobilní fází.

Zařízení pro gradientovou eluci umožňuje plynule měnit složení mobilní fáze. Prvním typem je soustava dvou čerpadel, z nichž každé dávkuje jednu složku mobilní fáze. Gradient se vytváří postupnou změnou průtoků na obou čerpadlech. Druhým typem je až čtyřcestný ventil umístěný na sání čerpadla, který umožňuje přepínání mezi složkami mobilní fáze. Před vstupem do čerpadla je směs důkladně promíchána ve směšovací komoře. U téhoto zařízení lze nastavit libovolný průběh gradientu s použitím až čtyř složek mobilní fáze.

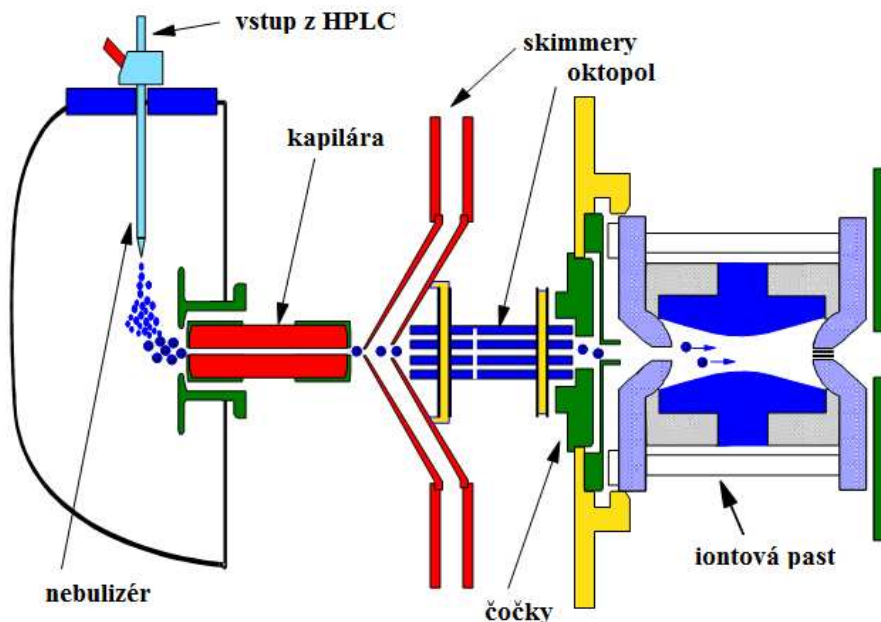
K dávkování vzorku se používá šesticestný kohout s dávkovací smyčkou. Při dávkování je nejprve smyčka naplněna vzorkem a poté je ventil přepnut do druhé polohy, kdy smyčkou protéká mobilní fáze, která unáší vzorek do kolony [45].

Materiál kolon musí odolávat relativně vysokým pracovním tlaků a zároveň musí být odolný k chemickému působení MF. Z tohoto důvodu se jako materiál kolon používá

antikorozivní ocel, tvrzené borosilikátové sklo nebo jejich kombinace. S rostoucí délkou kolony se zvyšuje účinnost separace, doba analýzy a pracovní tlak, ale klesají s rostoucím průměrem náplně kolony. Náplně kolon jsou založeny na anorganické matrici (silikagel, oxid hlinity, ...), na kterou jsou chemicky vázány či uchyceny různé stacionární fáze. Volba mobilní fáze závisí na druhu stacionární fáze. Při použití systému s normálními fázemi je stacionární fáze polární a mobilní fází je nepolární rozpouštědlo. Při použití systému s obrácenými fázemi je stacionární fáze nepolární a mobilní fáze u tohoto systému je polární [46].

Spojením HPLC s hmotnostní spektrometrií jsme schopni analyzovat široké spektrum sloučenin. Tato metoda se používá na tepelně labilní, vysoce polární nebo vysokomolekulární látky. Ve spojení s hmotnostní spektrometrií (obr. 14) se jako iontový zdroj nejčastěji používá elektrosprej.

Elektrosprej je patří do měkkých ionizačních technik. Eluát prochází kapilárou na kterou je vloženo vysoké napětí. Při výstupu z kapiláry se tvoří tzv. Taylorův kužel. Vznikající kapičky nesou na povrchu velké množství nábojů. Následným odpařováním rozpouštědla dochází k zvýšení hustoty povrchového náboje. Při dosažení kritické hodnoty dochází k tzv. Coulombické explozi, k rozpadu na menší kapičky až na jednotlivé ionty [47], [48].



Obr. 14: Schéma napojení MS na HPLC [44]

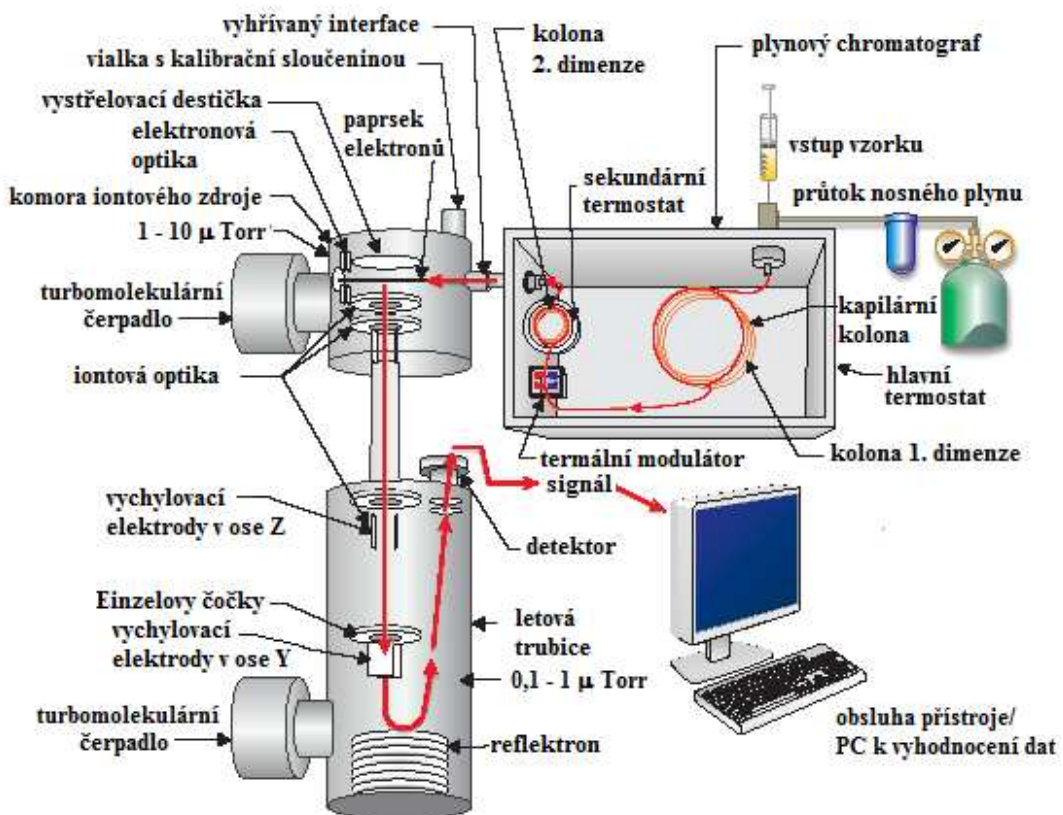
Vznikající ionty dále pokračují do analyzátoru. Mezi analyzátoře patří iontová past nebo kvadrupól a další. Z analyzátoru jsou ionty vypuzovány do detektoru a odtud jde signál do vyhodnocovacího zařízení.

## 2.4 Dvojrozměrná plynová chromatografie ve spojení s hmotnostní spektrometrií (GCxGC-TOF MS)

Oproti jednorozměrné plynové chromatografii má dvojrozměrná (2D) plynová chromatografie výhody ve vysokém rozlišení. To je dosaženo použitím dvou různých

stacionárních fází (např. nepolární a polární) během jedné analýzy, což umožňuje lepší charakterizaci komplexních vzorků.

Klíčem k zvýšení rozlišení je termální modulátor umístěný mezi obě kolony. Skládá se z robustního dvoustupňového systému, který vytváří dvě odlišné zóny střídavě chlazené kapalným dusíkem a zahřívané horkým vzduchem zajišťující převod separovaných látek z první kolony do druhé. Termostat sekundární kolony slouží pro optimalizaci separace na druhé koloně [49], [50]. Schéma GCxGC-TOF MS je uvedeno na obr. 15.



Obr. 15: Schéma GCxGC-TOF MS [49]

Kromě TOFMS detekce v systému GCxGC nabízí různé kvalitativní výhody. Dle povahy stacionární fáze jsou získávány chromatogramy se zřetelným zobrazením skupin analytů seřazených dle specifické chemické vlastnosti. To umožňuje přesnější identifikaci jednotlivých analytů.

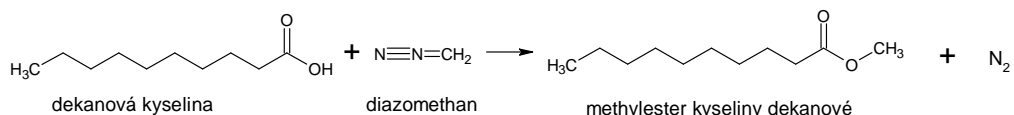
U TOF analyzátoru dochází k rozdělení iontů podle  $m/z$  na základě jejich odlišné doby letu z iontového zdroje do detektoru. Ionty s vyšším poměrem  $m/z$  jsou pomalejší než ionty s nižším  $m/z$ , proto k detektoru nejdříve dorazí lehčí ionty. Délka dráhy letu je důležitá pro dosažení vhodného rozlišení. Pro použití TOF analyzátoru je nutné použít iontový zdroj v pulzním režimu [51] Chyba! Nenalezen zdroj odkazů..

## 2.4.1 Derivatizace v plynové chromatografii

Použití derivatizace spočívá ve změně struktury analyzované sloučeniny za účelem zvýšení těkavosti, případně zvýšení odezvy analyzovaných sloučenin v použitém detektoru. Derivatizační činidla umožňují analyzovat sloučeniny, které jinak nelze pomocí plynové chromatografie separovat. Derivatizace se používá ke zlepšení rozlišení a snížení polarity sloučenin, dává možnost analýzy tepelně nestálých sloučenin, přispívá k zlepšení účinnosti separace a ke zlepšení stability sloučenin. Volba derivatizačního činidla závisí na funkčních skupinách, které vyžadují derivatizaci, a rovněž na přítomnosti jiných funkčních skupin v molekule. Volbu činidla dále ovlivňuje chemická struktura a vlastnosti derivatizované molekuly.

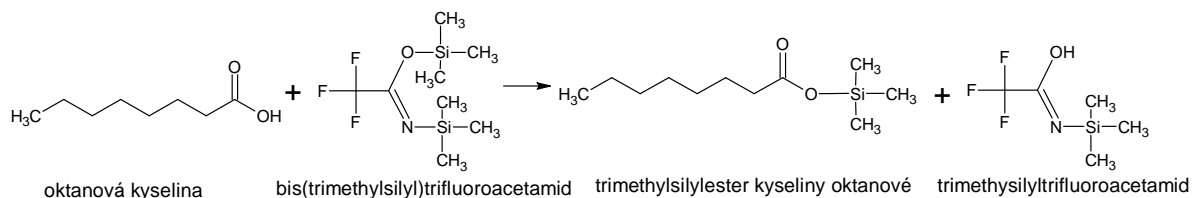
Při použití derivatizačního činidla nesmí docházet k strukturálním změnám v průběhu vzniku derivátu, ke ztrácení vzorku během reakce. Výsledný derivát musí být stabilní v závislosti na čase. Při derivatizaci se používají různé derivatizační techniky mezi které patří acylace, alkylace (methylace, acetylace) a silylace [52].

Při methylaci dochází k nahradě aktivního vodíku za alkyl. Jako příklad je uvedena reakce kyseliny dekanové a diazomethanu, kdy vzniká methylester kyseliny dekanové (obr. 16). Mezi methylační činidla patří výše zmíněný diazomethan, dále například alkylhalogenidy (pentafluorobenzylbromid) a alkoholy [53].



Obr. 16: Reakce kyseliny dekanové s diazomethanem

Při silylací dochází k nahradě aktivního vodíku trimethylsilylovou skupinou. Příklad je uveden na obr. 17, kde je zobrazena reakce kyseliny oktanové s bis(trimethylsilyl)trifluoroacetamidem (BSTFA).



Obr. 17: Reakce kyseliny oktanové s BSTFA

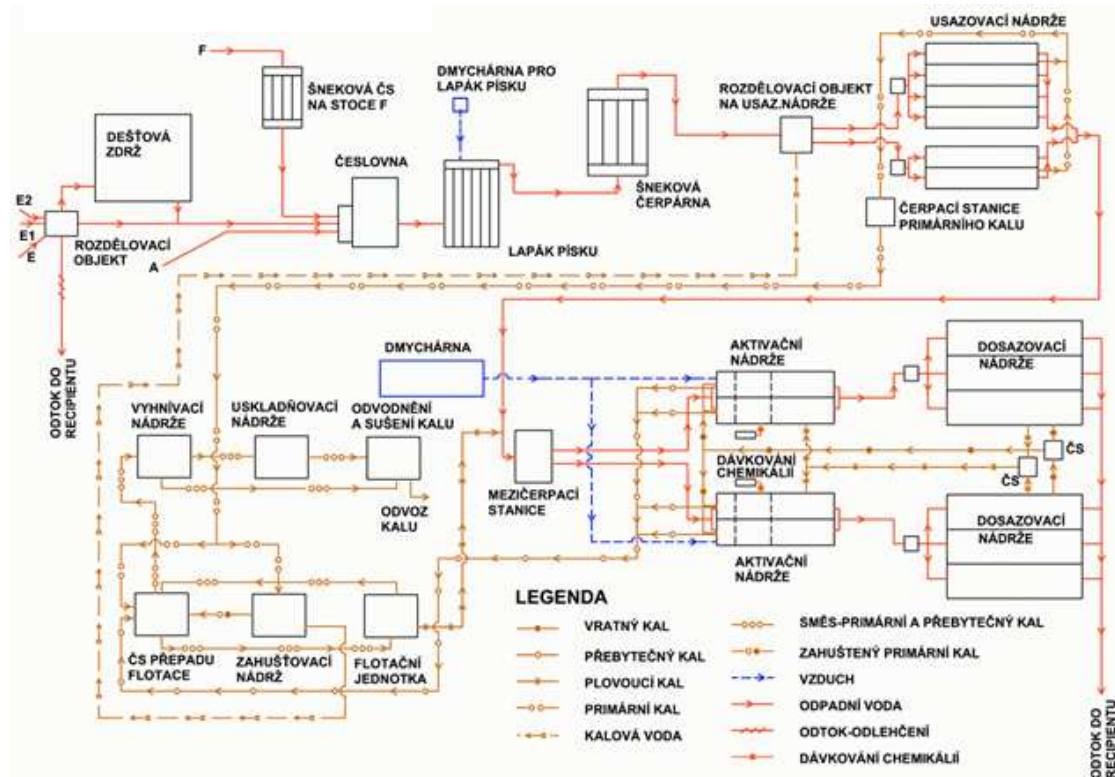
## 2.5 Čistírna odpadních vod v Brně-Modřicích

Čistírna je využívána k čištění odpadních vod přiváděných z kanalizačních stok a pomocí čerpacích stanic i z širokého okolí Brna. Nyní jsou k čistírně odpadní vody (ČOV) napojeny i města Kuřim, Modřice, obce Želešice, Česká u Brna, Šlapanice, Šlapanice-Bedřichovice, Ostropovice, Moravské Knínice, Lipůvka, Podolí, Ponětovice a Rozdrojovice.

Původní čistírna odpadních vod byla do provozu uvedena v roce 1961, a to jako klasická dvoustupňová čistírna s anaerobní stabilizací kalu. S rozvojem města a hydraulickým i látkovým přetížením bylo prováděno postupné rozšíření prakticky celé ČOV a to v průběhu 80. let. Již od roku 1992 se připravovala celková rekonstrukce a rozšíření ČOV. Potřeba

realizace se stávala naléhavější. Cílem bylo zajistit splnění všech limitů pro vypouštění vycištěných odpadních vod dle českých i evropských norem a předpisů a zároveň zajistit dostatečnou kapacitu zařízení aby bylo vyhověno stále rostoucí poptávce města Brna a okolních aglomerací. Koncem května roku 2001 byla stavba zahájena a dokončena koncem roku 2003. Jednoletý zkušební provoz byl zahájen 1. ledna 2004. Po kolaudaci je stavba v trvalém provozu.

Čištění odpadní vody se dělí na mechanický a biologický stupeň a dále na kalové hospodářství viz obr. 18.



Obr. 18: Blokové schéma ČOV Brno - Modřice

**Mechanický stupeň** se skládá z lapáků štěrku, česel, lapáku písku, pračky písku a usazovací nádrže. Surová odpadní voda přitéká na čistírnu přes přítokový objekt. Při vyšším průtoku se dešťová voda nejprve shromažďuje v dešťové zdrži. Po skončení dešťové události je voda ze zdrže přečerpána zpět do čistícího procesu. Voda, která přitéká do ČOV, je nejprve zbavována hrubého štěrku v lapáku štěrku poté přechází přes česla. Shraby s česly jsou lisovány a poté propírány vodou. Voda z česlovny dále pokračuje do provzdušňovaného lapáku písku, kde se separuje i tuk. Písek je přetříděn v třídičce a pračce písku. Poté je písek uložen do kontejneru. Dále je voda distribuována do jednotlivých usazovacích nádrží, kde je zajištěno mechanické odstranění sedimentujících látek.

**Biologický stupeň** se skládá z aktivací a dosazovací nádrže. Voda je vedena z usazovacích nádrží do aktivací zóny. Aktivace je rozdělena na dvě samostatně či společně provozované dráhy. Voda je nejdříve přiváděna do anaerobní nádrže s funkcí defosfatace, následně do oběhové anoxicke nádrže s funkcí předřazené denitrifikace. Poslední stupněm aktivace je oxická část s jemnou aerací (malé bublinky) rozdělená na provzdušňovanou a neprovzdušňovanou zónu. Vzduch je do procesu dodáván z dmýcháren. Vratný kal z dosazovacích nádrží je pro dosažení účinné defosfatace zbaven dusičnanů denitrifikací

v předřazené anoxicke nádrži, umístěné v první části aktivace. Odbourávání fosforu je přednostně zajištěno biologickým procesem. Pro odstranění zbytku biologicky neodbouraného fosforu se používá chemické srážení pomocí síranu železitého. Z aktivačních nádrží postupuje aktivační směs do dosazovacích nádrží, kde dochází k usazení a oddělení aktivovaného kalu. Usazený kal je veden přes čerpací stanici vratného kalu do preanoxicke zóny aktivace. Aktivovaný přebytečný kal odebírány z aktivace je zpracováván v kalovém hospodářství. Přečištěná voda je vypouštěna do recipientu.

**Kalové hospodářství** se skládá ze zahušťovací nádrže, flotační jednotky, vyhnívací nádrže, odvodnění a sušení kalu. Primární kal z usazovacích nádrží je zahušťován a dále pokračuje do kalové směšovací nádrže. Přebytečný aktivovaný kal, přiváděný z biologického stupně, je zahušťován ve flotační jednotce. Zálohou pro zahušťování primárního i sekundárního kalu jsou jednotky mechanických sít. Ke smíchání kalů dochází v homogenní směšovací nádrži. Směsný surový kal je přečerpán do vyhnívacích komor. K odstranění především vláknitých látek slouží předřazená filtrace. Vyhnivací nádrže jsou intenzivně promíchávány a udržovány při konstantní teplotě 35°C, aby byl zajištěn růst mezofilních bakterií. Ve vyhnívacích nádržích se kal zdržuje přibližně 22 dní. Po dobu víc jak čtyř dní je stabilizovaný kal uskladněn v uskladňovacích nádržích. Z těchto nádrží je vyhnílý kal s obsahem sušiny kolem 4% odvodňován odstředivkami. Kal z odstředivky o sušině cca 24% je transportován do sušárny. Dlouhá doba zdržení kalu (přes tři hodiny) v kombinaci s průměrnou teplotou kalu kolem 100°C umožňuje kaly pasterizovat a hygienizovat. Vysušený kal o sušině 90 – 92 % je ze sušárny dopravován pomocí chlazených dopravníků do venkovních kontejnerů.

**Bioplyn**, který je produkován při vyhnívání kalu, je kumulován ve dvou membránových plynojemech a poté využíván pro výrobu elektrické energie a tepla v kogeneračních jednotkách o výkonu 2 x 500 kW. Pro tuto výrobu je zbavován sirovodíku v odsiřovací jednotce. Přebytečný bioplyn je spalován v hořácích zbytkového plynu [54]

## 3 EXPERIMENTÁLNÍ ČÁST

### 3.1 Pasivní vzorkovače

Byly použity vzorkovače POCIS univerzální konfigurace dodávané firmou ExposMeter.

#### 3.1.1 Expozice vzorkovačů

První nasazení vzorkovačů POCIS bylo provedeno 19. 11. 2010, další 1. 3. 2011. Pokaždé byly nasazeny 3 POCIS disky na vstup i na výstup z ČOV. POCIS disky byly ukotveny na nosič a poté umístěny do vzorkovacího koše. Vzorkovače ukotvené na vstupu do čistícího procesu byly vloženy do malého koše z důvodu záchytu malého množství zachycených nečistot. Na výstupu byl použit velký koš, kde v dalším patře byly umístěny vzorkovače POCIS ve verzi pro zachycení léčiv.

Disky byly šroubkami přichyceny na nosič, poté vloženy do vzorkovacího koše, který byl uzavřen. Koš byl ukotven lankou a spuštěn do vzorkované vody. Vzorkovače byly vyjmuty po 28 dnech expozice, tedy 17. 12. 2010 a 29. 3. 2011.



Obr. 19: Zakreslení míst odběru v ČOV Brno Modřice

#### 3.1.2 Přeprava, očištění, uchování

Vyjmuté koše s vzorkovači POCIS byly přepraveny do laboratoře, kde bylo provedeno rozšroubování a hrubé očištění. Disky nasazené na vstupu byly dosti znečištěny. Oproti tomu u disků na výstupu muselo být z povrchu koše i disků odstraněno množství bioty (řasy,

nitěnky, pijavice), což svědčí o tom, že voda na výstupu je dostatečně čistá pro výskyt bioty. Po očištění a osušení byly jednotlivé disky zabaleny od allobalu a uloženy do mrazničky.

## 3.2 Eluce, Extrakce

Při vypracování rešerše bylo nalezeno množství postupů na extrakci. Byl vybrán postup vycházející z projektu POCIS na Univerzitě v Maine [55].

### 3.2.1 Použité chemikálie

- Methanol, pro HPLC, J. T. Baker, Nizozemí
- Toluen, pro HPLC, LAB SCAN, Polsko
- Dichlormethan, Merck, Německo
- Isopropanol, pro HPLC, LAB SCAN, Polsko

### 3.2.2 Použité zařízení a přístroje

- Běžné laboratorní vybavení (nálevka, kádinka)
- Evaterm na sušení dusíkem a ohřev, Labicom
- Vakuová odparka Büchi Rotavapor R – 205, Vacuum Controller V – 800, Heating Bath B – 490

### 3.2.3 Postup

- Byla připravena prázdná kolonka.
- Po volném rozmražení byly POCIS disky rozšroubovány a membrány se sorbentem byly opatrně vyjmuty.
- Pomocí pinzety byly od sebe odděleny membrány a pomocí methanolu byl sorbent převeden do kolonky. Methanol z oplachu membrán byl jímán do odpařovacích baňek.
- Bylo připraveno 50 ml směsi rozpouštědel methanol : toluen : dichlormethan (1 : 1 : 8) kterou byl sorbent eluován. Získaný eluát byl jímán do stejných baňek, které byly použity v předchozím kroku.
- Objem v baňce byl snížen na cca 0,5 ml pomocí vakuové odparky. K odparku bylo přidáno 1,5 ml isopropanolu.
- Získaný extrakt byl vysušen bezvodým síranem sodným, předem připraveným v Pasteurových pipetkách. Na dno Pasteurovy pipetky byla vložen smotek skelné vaty na které byla nanesena centimetrová vrstva síranu sodného. Po přesušení byl snížen objem extraktu na 1 ml pomocí proudu dusíku, převeden do vialky a nachystán k analýze.

Fotografie z průběhu získávání extraktu jsou uvedeny v příloze č. 1.

### **3.3 Analýza**

Vzorky byly analyzovány pomocí kapalinového chromatografu spojeného s hmotnostním spektrometrem a plynovým chromatografem spojeným s hmotnostním spektrometrem.

#### **3.3.1 Analýza pomocí LC/MS**

K analýze byl použit kapalinový chromatograf Agilent 1100 Series od firmy Agilent Technologies (USA) s hmotnostním spektrometrem s iontovou pastí Agilent 6320 Series od téže firmy.

##### **3.3.1.1 Parametry analýzy**

- Nástrčík: 1  $\mu$ l
- Kolona: Eclipse XDB – C18 (3,5  $\mu$ m, 2,1 x 150 mm) s předkolonkou (5  $\mu$ m, 2,1 x 12,5 mm)
- Mobilní fáze:
  - Průtok mobilní fáze: 0,250 ml/min
  - Metoda 1: acetonitril (ACN) : miliQ voda (25 : 75)
  - Metoda 2: ACN : 1 mmol CH<sub>3</sub>COONH<sub>4</sub> (25 : 75)
- Gradient: t<sub>20</sub> = 100 % ACN, t<sub>30</sub> = 100 % ACN, t<sub>32</sub> = 25 % ACN
- Teplota kolony: 35 °C
- Doba analýzy: 32 minut

#### **Hmotnostní spektrometr**

- Rozsah molekulových hmotností: 50 – 1000
- Tlak zmlžovacího plynu (N<sub>2</sub>): 20 psi
- Sušící plyn: dusík
- Průtok sušícího plynu: 10 l/min
- Teplota sušícího plynu: 350 °C
- Skenovací rychlosť: 2 spekter/s
- Napětí na detektoru: 1970 V

#### **3.3.2 Analýza pomocí GCxGC/MS**

K analýze byl použit plynový chromatograf s hmotnostním spektrometrem Pegasus 4D GCxGC-TOF MS od firmy LECO Instrumente (USA).

### **3.3.2.1 Parametry dvojrozměrné analýzy**

- Nástřik: 1  $\mu$ l
- Teplota nástřiku: 280 °C
- Metoda nástřiku: bezděličová
- Nosný plyn: helium
- Teplotní program:
  - primární kolona:  $t_0 = 50$  °C po dobu 1 min, nárůst teploty 5 °C/min do 290 °C, teplota držena po dobu 5 minut
  - sekundární kolona:  $t_0 = 60$  °C po dobu 1 min, nárůst teploty 5 °C/min do 300 °C, teplota držena po dobu 5 minut
- Kolony:
  - Primární kolona: Rxi-17 (30 m x 0,25 mm x 0,25  $\mu$ m)
  - Sekundární kolona: Rxi 5-Sil MS (1,43 m x 0,1 mm x 0,1  $\mu$ m)
- Modulátor: + 20 °C oproti teplotě primární kolony
- Hot pulse: 0,5 s
- Cooltime: 1 s

#### **Hmotnostní spektrometr:**

- Rozsah sledovaných molekulových hmotností: 35 – 550
- Skenovací rychlosť: 100 spekter/s
- Napětí na detektoru: 2000 V

### **3.3.2.2 Parametry jednorozměrné analýzy**

- Nástřik: 1  $\mu$ l
- Teplota nástřiku: 280 °C
- Metoda nástřiku: bezděličová
- Nosný plyn: helium
- Teplotní program:  $t_0 = 50$  °C po dobu 1 min, nárůst teploty 10 °C/min do 300 °C, teplota držena po dobu 5 minut

#### **Hmotnostní spektrometr:**

- Rozsah sledovaných molekulových hmotností: 35 – 550
- Skenovací rychlosť: 100 spekter/s
- Napětí na detektoru: 2000 V

### **3.3.2.3 Trimethylsilylace**

Jako první metoda derivatizace byla použita trimethylsilylace. Jako trimethylsilylační činidlo byl použit N,O-bis(trimethylsilyl)trifluoroacetamid (BSTFA).

#### **3.3.2.3.1 Chemikálie, zařízení**

- N,O-bis(trimethylsilyl)trifluoroacetamid (BSTFA), Sigma-Aldrich,
- Pyridin, Sigma-Aldrich,
- Evaterm/Labicom - na ohřev a odpaření rozpouštědla

#### **3.3.2.3.2 Postup**

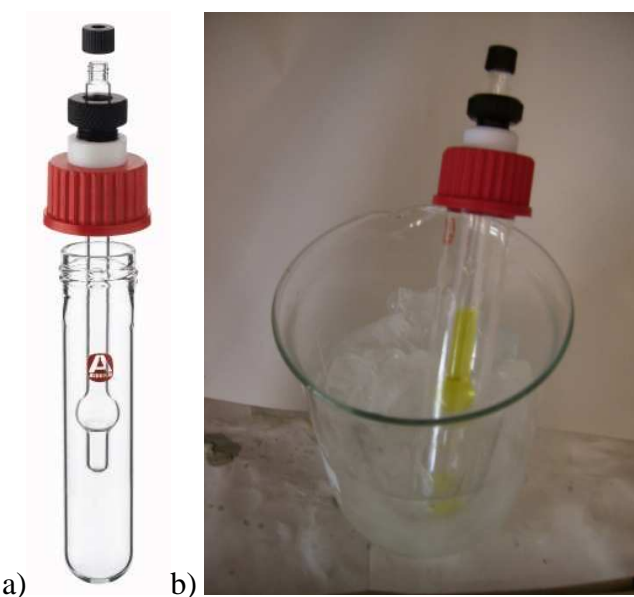
- 0,5 ml vzorku bylo odpařeno do sucha a poté bylo přidáno 100 µl pyridinu a 300 µl BSTFA.
- Tato směs byla udržována při teplotě 70 °C po dobu 60 minut.
- Poté byla směs přefiltrována přes fritu a přenesena do vialky a připravena k analýze.

### **3.3.2.4 Methylace**

Jako druhá metoda derivatizace byla zvolena methylace pomocí diazomethanu, který byl připraven těsně před methylací v aparatuře uvedené na obr. 20.

#### **3.3.2.4.1 Chemikálie, zařízení**

- Hydroxid draselný, Sigma-Aldrich, Německo
- Diazald, Sigma-Aldrich, Německo
- Ethanol destilovaný
- Dietylether, Sigma-Aldrich, Německo
- Aparatura: Systém 45, Sigma-Aldrich, Německo
- Běžné laboratorní sklo



Obr. 20: a) aparatura pro výrobu diazometanu [56], b) fotografie z výroby diazometanu

#### **3.3.2.4.2 Příprava diazomethanu**

- Byl připraven 37% KOH rozpuštěním 1,85 g KOH v 5 ml vody.
- Byla sestavena aparatura a vložena do kádinky s ledem.
- Do vnější části aparatury byly vneseny 2 ml diethylétheru.
- Do vnitřní části bylo nasypáno 0,3 g diazaldu a přidán 1 ml diethylétheru a 1 ml etanolu. Směs byla opatrně promíchána protřepáním.
- Vnitřní část aparatury byla uzavřena uzávěrem se septem.
- Přes septum se po kapkách pomalu přidávalo 1,5 ml 37% KOH. Po každém přidaném 0,5 ml byla směs lehkým protřepáním promíchána.
- Obsah vnitřní části aparatury, část s vyvíjejícím diazometanem, byl občasně promícháván. Bylo dbáno na to, aby byla aparatura pořád v ledu.
- Správný chod reakce byl vizuálně prokázán postupným žloutnutím dietylétheru ve vnější zkumavce.
- Po odebrání získaného diazomethanu byla aparatura umyta acetonem a následně opláchnuta vodou.

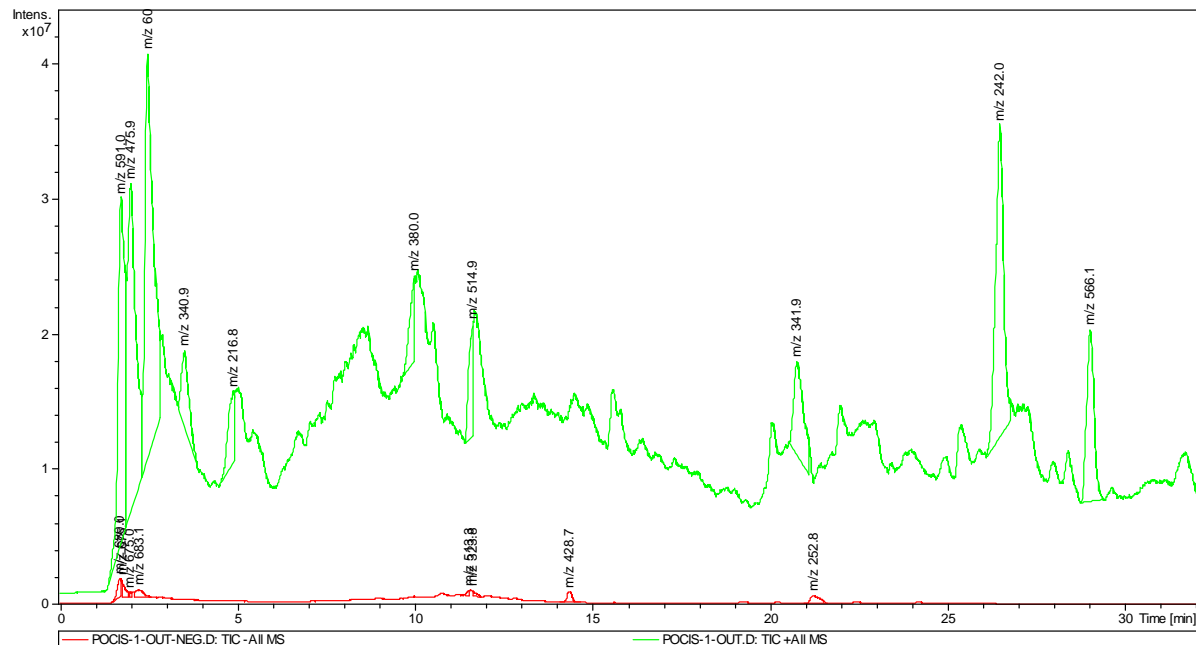
#### **3.3.2.4.3 Postup**

- Vzorek byl odpařen do sucha pod dusíkem. Poté bylo přidáno 6 kapek roztoku diazometanu v diethylétheru a po chvilce byl odpařen.
- Po odpaření bylo přidáno 50 µl n-hexanu a poté byl extrakt přenesen do vialky a připraven k analýze.

## 4 VÝSLEDKY A DISKUZE

### 4.1 Analýza pomocí kapalinové chromatografie

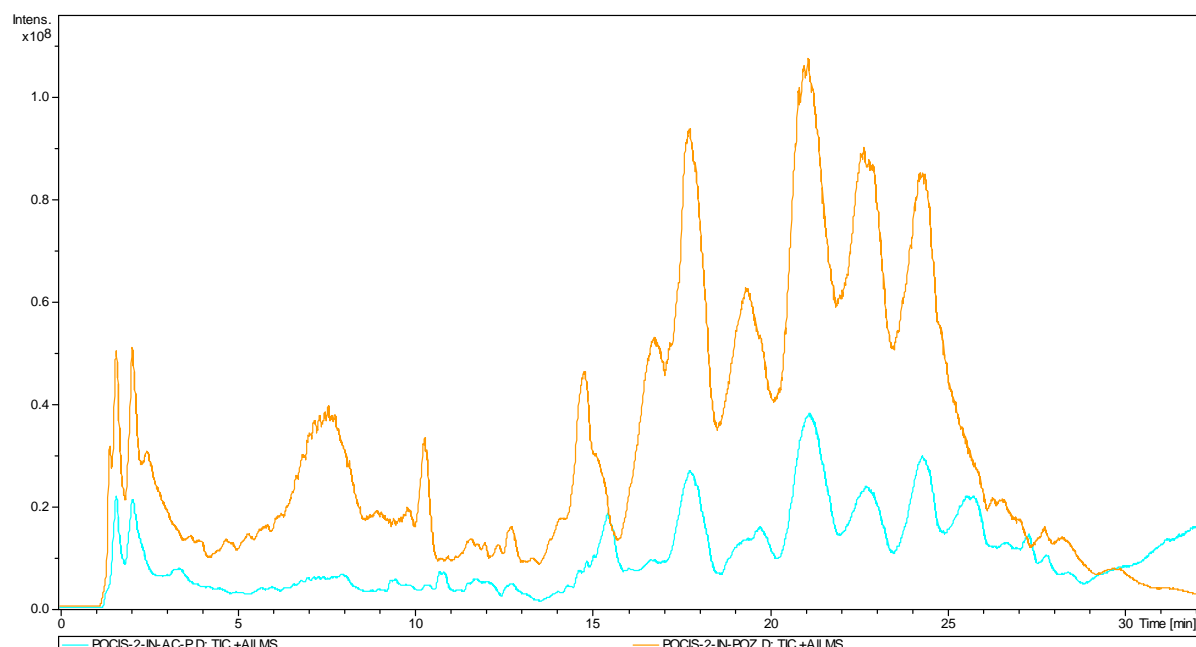
#### 4.1.1 Optimalizace: volba módu, pozitivní či negativní



Obr. 21: Chromatogram, zhodnocení negativního a pozitivního módu

Můžeme vidět, že v pozitivním módu (zelená křivka) můžeme stanovit mnohem více látek než v negativním módu. Proto byly ostatní vzorky měřeny jen v pozitivním módu.

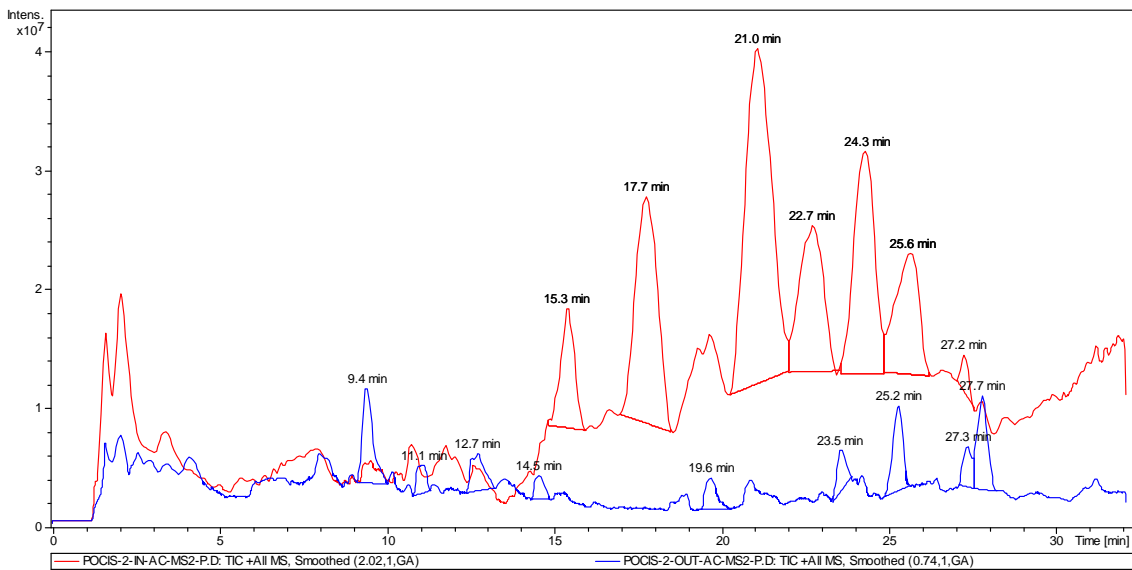
#### 4.1.2 Optimalizace: volba mobilní fáze



Obr. 22: Chromatogram, zhodnocení volby mobilní fáze

Na obr. 22 je vidět vliv mobilní fáze. Při použití okyselené mobilní fáze dochází ke snížení intenzity a křivka je mnohem hladší než při použití neokyselené mobilní fáze.

#### 4.1.3 Rozdíl mezi vzorky na vstupu a na výstupu

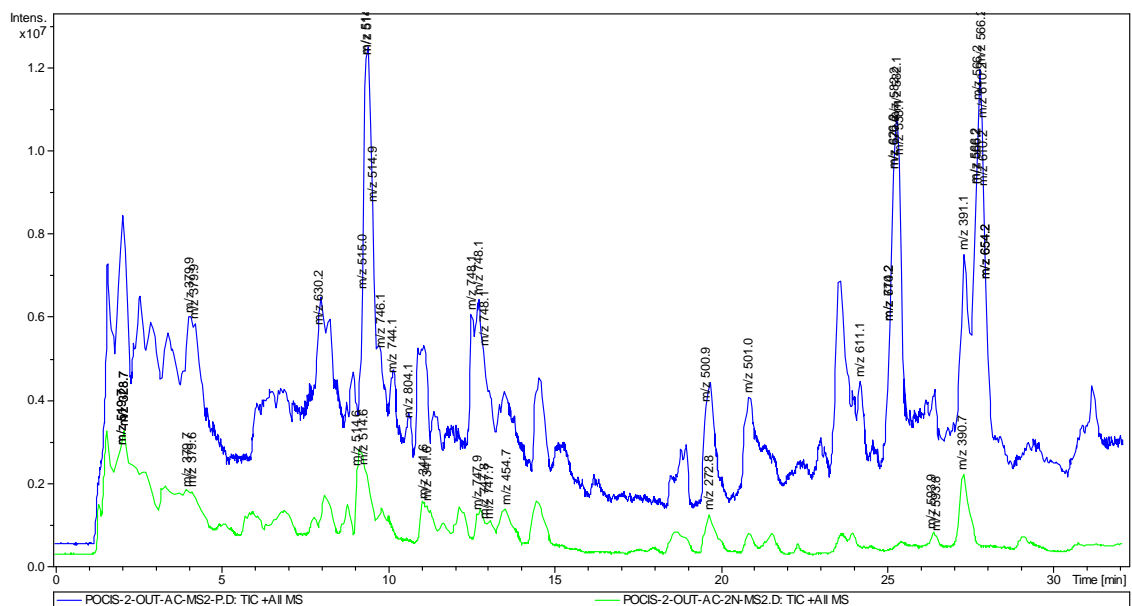


Obr. 23: Chromatogram, vzorek odebraný na výstupu

Srovnáním můžeme vidět, že ve vzorku odebraném na vstupu (červeně) je více chemických individuí než na výstupu (obr. 23).

#### **4.1.4 Vliv okolního prostředí dle období vzorkování**

První vzorky byly odebrány v období listopad – prosinec, další vzorky byly odebrány v březnu. Na obr. 24 můžeme vidět rozdíly mezi těmito vzorky. Jeden z rozdílů je hodnota intenzity, kdy u vzorku odebraného v období listopad – prosinec (modře) jsou naměřeny vyšší hodnoty intenzity a s tím spojená i koncentrace analytů.



Obr. 24: Chromatogram, vliv dle ročního období, období listopad – prosinec je modré, březen je zelené

## 4.2 Analýza pomocí plynové chromatografie

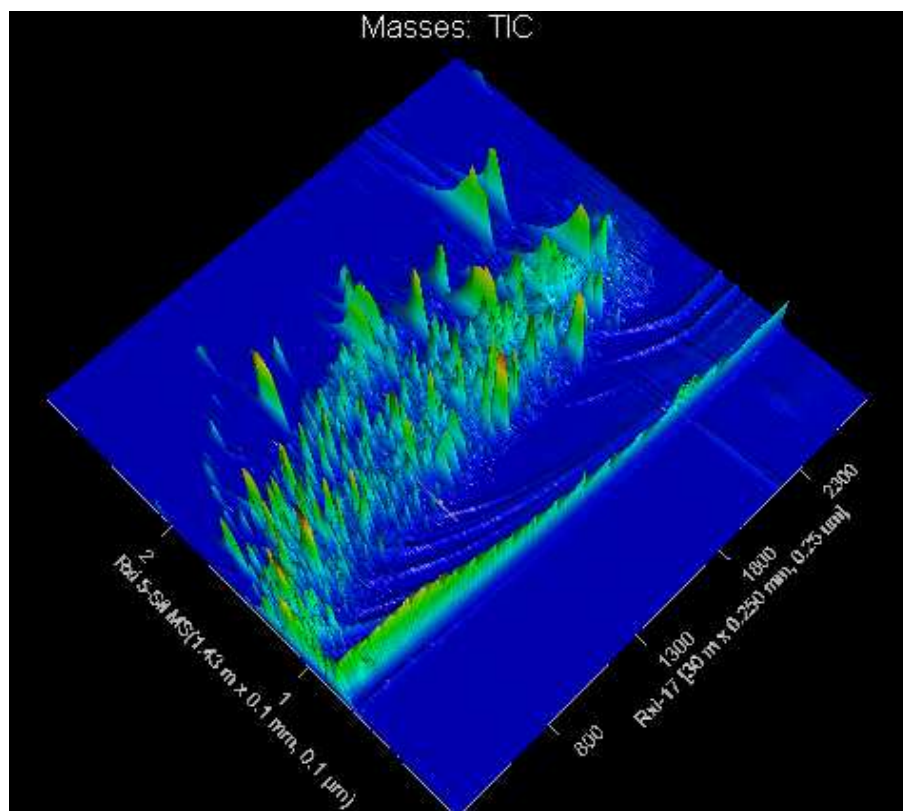
Vzorky z prvního nasazení po proběhnutí reakce s BSTFA byly analyzovány pomocí GCxGC-TOFMS. V průběhu měření došlo k závadě na modulátoru, proto byly ostatní vzorky měřeny již jednorozměrnou GC/MS. Po zjištění, že v exponovaných vzorkovačích nebyly zachyceny skoro žádné pesticidy bylo vyhodnocení zaměřeno na identifikaci přítomných látek typu mastných kyselin, vyšších alkoholů a dalších látek.

### 4.2.1 Sloučeniny identifikované jako trimethylsilylderiváty

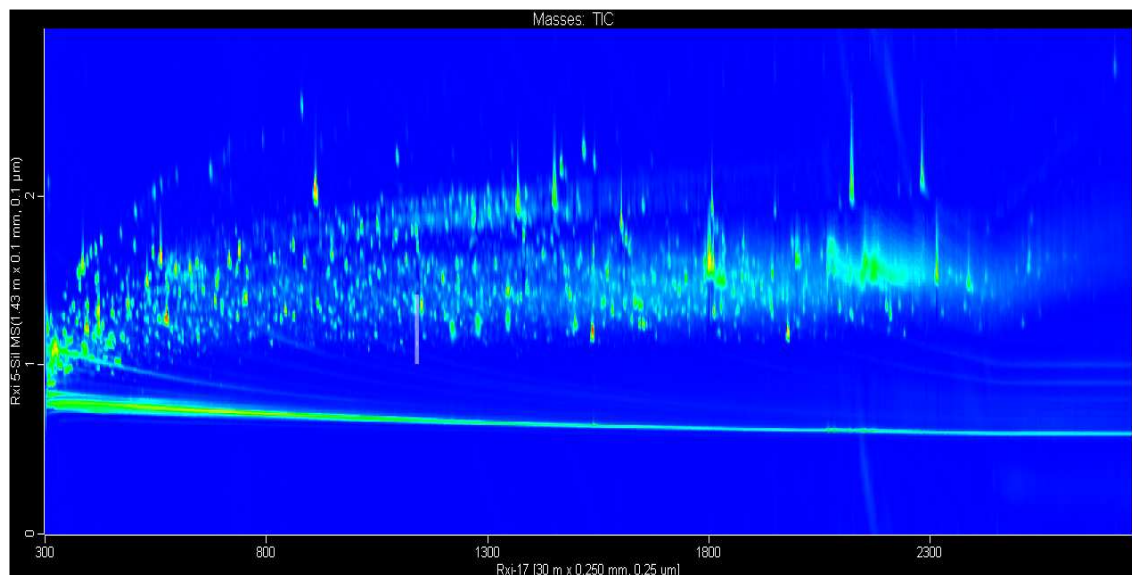
Porovnáním tabulek bylo zjištěno rozdílné složení vzorků. Např. paracetamol nebyl ve vzorku na vstupu identifikován, ale ve vzorku odebraném na výstupu ano. To mohlo být způsobeno překrytím retenčních časů. Při použití 2D GC se látky mohou lišit v retenčním čase (R. T.) na druhé koloně. Vzhledem k tomu, že se jedná o směs mnoha sloučenin, je i tato možnost někdy nepravděpodobná. Oproti tomu na výstupu nebyly identifikovány některé látky, což svědčí o tom, že látky byly zachyceny čistícími procesy v ČOV. V tabulkách je vždy uveden retenční čas (R.T.) na první koloně oddělený středníkem od retenčního času na druhé koloně. Znak „-“ znamená, že daná sloučenina nebyla v měřeném vzorku identifikována.

#### 4.2.1.1 Ukázka 2D chromatogramu

Na obr. 25 a 26 je vidět 2D chromatogram vzorku po trimethylsilylacii. Již z obrázku 25 je vidět, že 2D chromatografie přináší lepší rozlišení a přesnější vyhodnocování separovaných látek.



Obr. 25: Trojrozměrné zobrazení 2D chromatogramu vstupního vzorku po trimethylsilylacii



Obr. 26: Contour plot 2D chromatogrammu vstupniho vzorku po trimethylsilylacii

#### 4.2.1.2 Expozice POCIS v období listopad-prosinec

Tab. 10: První expoziční, vzorkovače na vstupu

Poř.	Sloučenina	1	2	3
		R. T. (s)	R. T. (s)	R. T. (s)
1	borneol	558 ; 1,580	-	558 ; 1,590
2	oktenová kyselina	600 ; 1,410	600 ; 1,410	600 ; 1,400
3	kaprylová kyselina (oktanová)	633 ; 1,530	633 ; 1,640	633 ; 1,510
4	kafr	-	660 ; 1,210	-
5	glycerol	681 ; 1,380	681 ; 1,380	-
6	sorbová kyselina	693 ; 1,230	-	695 ; 1,230
7	tetradecen-11-ol	732 ; 1,640	732 ; 1,640	-
8	benzenkarboxylová kyselina	735 ; 1,250	735 ; 1,310	735 ; 1,300
9	pelargonová kyselina (nonanová)	756 ; 1,570	756 ; 1,590	756 ; 1,820
10	fenyloctová kyselina	834 ; 1,350	834 ; 1,620	834 ; 1,360
11	dekanová kyselina	885 ; 1,660	885 ; 1,720	-
12	isotridecyl alkohol	942 ; 1,870	939 ; 1,870	939 ; 1,870
13	2-heptenová kyselina	957 ; 1,200	-	-
14	undekanol	996 ; 1,560	996 ; 1,600	-
15	undecenová kyselina	1023 ; 1,600	1023 ; 1,600	-
16	salicylová kyselina	1080 ; 1,420	1080 ; 1,420	1080 ; 1,410
17	3-hydroxydekanová kyselina	1110 ; 1,770	1110 ; 1,770	1110 ; 1,760
18	dodekanová kyselina	1140 ; 1,760	1140 ; 1,730	1140 ; 1,730
19	ibuprofen	1230 ; 1,480	-	1233 ; 1,530
20	tetradekanová kyselina	1380 ; 1,810	1380 ; 1,840	1380 ; 1,850
21	azelainová kyselina	1389 ; 1,590	1389 ; 1,610	1386 ; 1,620

**Tab. 11:** První expozice, vzorkovače na vstupu, pokračování tab. 10

Poř.	Sloučenina	1	2	3
		R. T. (s)	R. T. (s)	R. T. (s)
1	9-tetradecenová kyselina	1401 ; 1,700	1401 ; 1,770	1401 ; 1,690
2	guaifenesin	1482 ; 1,460	1482 ; 1,460	-
3	3-hydroxytetradekanová kyselina	1551 ; 1,890	1551 ; 1,900	-
4	hexadekanová kyselina	1605 ; 1,850	1605 ; 1,900	1605 ; 1,930
5	palmitoelaidová kyselina	1614 ; 1,770	1614 ; 1,800	1614 ; 1,780
6	heptadekanová kyselina	1635 ; 1,860	-	-
7	kotinin	1692 ; 1,170	1689 ; 1,130	1692 ; 1,140
8	dodekandiová kyselina	1707 ; 1,680	1707 ; 1,700	1707 ; 1,680
9	okadekanová kyselina	1806 ; 1,940	1806 ; 2,050	1806 ; 1,940
10	olejová kyselina	1818 ; 1,830	1818 ; 1,840	-
11	linolová kyselina	1833 ; 1,800	1833 ; 1,840	1833 ; 1,830
12	linolenová kyselina	1863 ; 1,700	1863 ; 1,720	1863 ; 1,860
13	kofein	1869 ; 1,240	1869 ; 1,470	1869 ; 1,240
14	ketoprofen	2100 ; 1,350	2094 ; 1,340	2094 ; 1,340
15	diklofenak	2208 ; 1,380	2202 ; 1,390	2205 ; 1,340

V tomto vzorku (tab. 10 a 11) byly identifikovány některá léčiva, např. ketoprofen, ibuprofen a diklofenak. Dále byl identifikován kofein, salicylová kyselina a některé mastné kyseliny např. linolenová, palmitoelaidová. V níže uvedené tabulce chybí výsledky analýzy z třetího nasazeného vzorkovače z důvodu nemožnosti srovnání retenčních časů získaných pomocí jednorozměrné GC.

**Tab. 12:** První expozice, vzorkovače na výstupu

Poř.	Sloučenina	1	2
		R. T. (s)	R. T. (s)
1	alanin	423 ; 1,300	-
2	leucin	594 ; 1,530	597 ; 1,570
3	isoleucin	627 ; 1,590	627 ; 1,580
4	kafr	660 ; 1,210	660 ; 1,210
5	močovina	699 ; 1,320	699 ; 1,320
6	L-serin	717 ; 1,590	717 ; 1,590
7	benzenkarboxylová kyselina	735 ; 1,300	735 ; 1,290
8	L-threonin	738 ; 1,670	738 ; 1,660
9	pelargonová kyselina	756 ; 1,560	756 ; 1,550
10	fenoxyoctová kyselina	834 ; 1,270	-
11	dekanová kyselina	885 ; 1,620	885 ; 1,610
12	pikolinová kyselina	969 ; 1,170	969 ; 1,170
13	undekanol	996 ; 1,560	-

**Tab. 13:** První expozice, vzorkovače na výstupu, pokračování tab. 12

Poř.	Sloučenina	1	2
		R. T. (s)	R. T. (s)
1	ornithin	1050 ; 1,770	1050 ; 1,770
2	salicylová kyselina	1080 ; 1,410	1080 ; 1,410
3	3-hydroxydekanová kyselina	1110 ; 1,750	-
4	L-fenylalanin	1200 ; 1,520	1200 ; 1,510
5	paracetamol	1212 ; 1,490	-
6	tetradekanová kyselina	1380 ; 1,780	1380 ; 1,770
7	azelainová kyselina	1389 ; 1,590	1389 ; 1,570
8	9 -tetradecenová kyselina	1401 ; 1,690	1401 ; 1,680
9	tyrosin	1539 ; 1,610	1539 ; 1,660
10	3-hydroxytetradekanová kyselina	1551 ; 1,800	-
11	hexadekanová kyselina	1605 ; 1,750	-
12	heptadekanová kyselina	1635 ; 1,860	-
13	okadekanová kyselina	1806 ; 1,950	1806 ; 1,950
14	olejová kyselina	1818 ; 1,820	1818 ; 1,810
15	terbutryn	1857 ; 1,250	1860 ; 1,230
16	linolenová kyselina	1863 ; 1,680	1863 ; 1,670
17	leveorphanol	2037 ; 1,510	2037 ; 1,460

Ve vzorku na výstupu (tab. 12, 13) byly identifikovány některé aminokyseliny (alanin, leucin, ...), dále léčivo paracetamol a některé mastné kyseliny (azelainová, tetradekanová, olejová, ...)

#### 4.2.1.3 Expozice v průběhu měsíce března

Jak již bylo řečeno, získané extrakty z druhého nasazení byly z technických důvodů analyzovány pomocí jednorozměrné GC/MS.

**Tab. 14:** Druhá expozice, vstup

Poř.	Sloučenina	1	2	3
		R. T. (s)	R. T. (s)	R. T. (s)
1	nonanová kyselina	676,579	676,658	-
2	benzenkarboxylová kyselina	786,568	786,568	-
3	fenylocotvá kyselina	840,489	-	-
4	fenylethanolamin	965,859	-	-
5	dodekanová kyselina	1001,68	1001,68	998,458
6	paracetamol	1034,27	-	-
7	ibuprofen	1052,74	1052,74	-
8	tetradekanová kyselina	1122,64	1123,27	1120,09
9	hexadekanová kyselina	1234,21	1235,35	1441,11

**Tab. 15: Druhá expozice, vstup, pokračování tab. 14**

Poř.	Sloučenina	1	2	3
		R. T. (s)	R. T. (s)	R. T. (s)
1	palmitoelaidová kyselina	1240,19	1241,37	1243,85
2	butyloctyl ftalát	1283,8	-	-
3	olejová kyselina	1343,08	1340,79	1348,21
4	9,12-oktadekadienová kyselina	1351,14	1351,53	1356,18
5	kofein	1386,59	1386,59	1386,65
6	dekandiová kyselina	1408,28	1408,65	1408,28
7	disooktyl ftalát	1596,73	1597,78	1597,49
8	mono(2-ethylhexyl) ftalát	1597,02	1598,02	1597,31

**Tab. 16: Druhá expozice, výstup**

Poř.	Sloučenina	1	2	3
		R. T. (s)	R. T. (s)	R. T. (s)
1	benzenkarboxylová kyselina	-	-	786,118
2	fenylethanolamin	-	726,688	729,578
5	hexadekanová kyselina	1234,15	1234,24	1233,92
6	palmitoelaidová kyselina	-	1240,56	-
8	olejová kyselina	1342,32	-	-
9	disooktyl ftalát	1597,13	1597,63	1596,3
10	mono(2-ethylhexyl) ftalát	1596,65	1597,67	1596,99
14	Leucin	-	696,258	-
16	Alanin	-	579,258	-
17	L-Serin	-	-	769,028
18	L-Prolin	-	-	757,328
20	L-Norvalin	-	655,628	659,288
23	L-Isoleucin	-	-	718,958
26	močovina	763,168	-	-
27	ketoprofen	1410,14	-	1410,52
28	oktadekanová kyselina	-	1336,3	1335,73
29	glycerol	676,668	673,098	676,328

V období měsíce března byly ve vzorku na vstupu (tab. 14, 15) identifikovány mastné kyseliny, farmaka (paracetamol, ibuprofen) a také některé ftaláty. Ve vzorku na výstupu (tab. 16) byly identifikovány aminokyseliny, ftaláty a další sloučeniny jako glycerol, ketoprofen, močovina, atd.

#### 4.2.2 Identifikované sloučeniny po methylaci

Sloučeniny byly identifikovány na základě porovnání naměřených spekter s knihovnou spekter. Ve vzorku byly nalezeny mastné kyseliny, např. palmitová, laurová, ale také léčiva

ibuprofen, dále kofein a další sloučeniny. Nalezené ftaláty mohou pocházet z rozpouštědel jako běžná laboratorní kontaminace.

#### 4.2.2.1 Expozice v období listopad - prosinec

Tab. 17: Vzorkovače exponované na vstupu, první expozice

Poř.	Sloučenina	1	2	3
		R. T. (s)	R. T. (s)	R. T. (s)
1	isooktylftalát	1599,51	1597,1	1596,38
2	3-methylbenzensulfonová kyselina	1143,62	-	-
3	4-methylbenzensulfonová kyselina	1101,45	1101,54	1100,8
4	benzaldehyd	598,308	-	-
5	benzenpropanová kyselina	-	873,308	-
6	benzensulfonamid	1218,19	-	-
7	butyl-2-ethylhexyl ftalát	1283,67	1283,53	-
8	ibuprofen	1050,54	1051	-
9	kaprylová kyselina (oktanová kyselina)	-	647,518	-
10	kaprinová kyselina (dekanová kyselina)	-	807,938	808,578
11	kofein	1385,35	1385,41	-
12	laurová kyselina (dodekanová kyselina)	952,618	953,108	953,708
13	mono(2-ethylhexyl) ftalát	-	-	1596,61
14	myristová kyselina (tetradekanová)	1084,22	1084,38	-
15	N,N,N',N'-Tetraacetylethylenediamin	-	1183,87	-
16	N-Tosyloxy-2-methyl-3,3-bis(trifluoromethyl)aziridin	1296,57	-	-
17	palmitová kyselina (hexadekanová)	1244,07	-	-
18	p-toluen sulfonamid	-	1278,3	1267,2
19	p-toluensulfonová kyselina	-	1104,54	-
20	tridekanová kyselina	1202,73	1202,72	1202,16
21	undekanová kyselina	1084,11	-	-

Tab. 18: Vzorkovače exponované na výstupu, první expozice

Poř.	Sloučenina	1	2	3
		R. T. (s)	R. T. (s)	R. T. (s)
1	(fenylsulfonyl) benzen	1443,04	-	-
2	isooktyl ftalát	1596,09	1596,58	-
3	4-methylbenzensulfonová kyselina	1100,89	1101,55	1101,27
4	benzenethamine (fenylethylamin)	-	1267,59	1269,53
5	benzensulfonamid	1218,7	1218,01	-
6	diklofenak	1559,67	1559,88	-
7	N,N-dimethyl-N-fenyl sulfamid	1142,93	1144,61	-

**Tab. 19: Vzorkovače exponované na výstupu, první expozice, pokračování tab. 18**

Poř.	Sloučenina	1	2	3
		R. T. (s)	R. T. (s)	R. T. (s)
1	N-butyl-benzensulfonamid	1247,17	1247,04	-
2	p-toluen sulfonamid	1270,8	1271,06	1269,38
3	p-toluensulfonylacetonitril	1296,88	1297,11	1296,35
4	tridekanová kyselina	1202,67	1202,53	-

Při srovnání tab. 17,18 a 19 vyplývá, že u vzorku na vstupu bylo identifikováno více sloučenin. Na vstupu byly identifikovány převážně mastné kyseliny, ftaláty a některá léčiva. Na výstupu byly identifikován diklofenak, některé sulfonamidy a opět ftaláty.

#### 4.2.2.2 Expozice v průběhu měsíce března

Níže jsou uvedeny tab. 20 a 21, kde jsou shrnutý identifikované sloučeniny. U vzorku na vstupu byly nalezeny především mastné kyseliny, kofein, sulfonamidy a ibuprofen. Jak můžeme vidět u vzorku na výstupu, byl zde identifikován např. Musk 36 A, který nebyl identifikován ve vzorku získaném za období listopad-prosinec. Za celý měsíc březen zde byly identifikovány sloučeniny jako např. kyselina kafrsulfonová, benzensulfonamid, diklofenak a další.

**Tab. 20: Vzorkovače exponované na vstupu, druhá expozice**

Poř.	Jméno sloučeniny	1	2	3
		R. T. (s)	R. T. (s)	R. T. (s)
1	isooktyl ftalát	1597,25	1596,92	1597,23
2	4-methylbenzensulfonová kyselina	1101,71	1101,34	-
3	benzenpropanová kyselina	873,449	873,504	873,788
4	benzensulfonamid	1217,93	1218,47	1218,45
5	butyl 2-ethylhexyl ftalát	1283,63	1283,99	1284,21
6	ibuprofen	1050,67	1050,09	1051,26
7	kaprinová kyselina	808,219	809,144	808,778
8	kofein	1385,64	1385,83	1386,71
9	laurová kyselina	953,829	953,194	954,548
10	mono(2-ethylhexyl) ftalát	1597,54	1596,47	1597,5
11	myristová kyselina (tetradekanová)	1084,29	1084,53	1084,38
12	N,N,N',N'-Tetraacetylethylendiamin	1183,94	1184,07	1184,09
13	N-butyl-benzensulfonamid	1247,8	1247,5	-
14	tridekanová kyselina	1202,4	1202,48	1202,56
15	undekanová kyselina	1084,21	1084,01	1084,14
16	diethylftalát	1145,17	1145,12	1145,08

**Tab. 21: Vzorkovače exponované na výstupu, druhá expozice**

Poř.	Jméno sloučeniny	1	2	3
		R. T. (s)	R. T. (s)	R. T. (s)
1	(fenylsulfonyl) benzen	1443,14	1443,33	1443,07
2	isooktyl ftalát	1596,31	1596,81	1596,61
3	4-methylbenzensulfonová kyselina	1101,52	-	1101,5
4	benzenethamine (fenylethylamin)	1268,22	-	-
5	benzensulfonamid	1218,56	1218,3	1217,81
6	butyl 2-ethylhexyl ftalát	-	-	1283,85
7	diklofenak	1559,99	1559,94	1559,9
8	laurová kyselina (dodekanová kyselina)	953,348	-	-
9	mono(2-ethylhexyl) ftalát	1596,44	1596,37	1596,61
10	myristová kyselina (tetradekanová)	1084,21	-	-
11	N-butyl-benzensulfonamid	1247,44	1247,56	1247,91
12	p-toluen sulfonamid	1268,54	-	1267,95
13	tridekanová kyselina	1204,22	1202,83	1202,84
14	undekanová kyselina	1084,14	-	-
15	Musk 36 A (7-Acetyl-6-ethyl-1,1,4,4-tetramethyltetalin)	1270,13	1269	1269,05
16	kafrsulfonová kyselina	895,428	894,638	894,978
17	Sulfamerazin	1220,17	-	-
18	Ethyynylestradiol	1539,81	-	-

## 5 ZÁVĚR

Cílem této diplomové práce bylo seznámení se s praktickým použitím vzorkovače POCIS. Byla zpracována literární rešerše zaměřená na problematiku pasivního vzorkování. Byly zde diskutovány jednotlivé pasivní vzorkovače, jejich konstrukce, vlastnosti a použití na konkrétní skupinu cílových analytů. Jelikož je tato práce zaměřena především na použití pasivního vzorkovače POCIS, byla tomuto tématu věnována celá kapitola.

Pomocí literárních zdrojů byla vyhledána vhodná technika k získání extraktu obsahujícího rezidua pesticidů z exponovaných vzorkovačů POCIS. Byla zvolena metoda eluce za normálního tlaku s použitím směsi rozpouštědel. Získaný extrakt byl analyzován pomocí HPLC/MS a GCxGC-TOFMS. Při analýze pomocí kapalinové chromatografie byly optimalizovány podmínky analýzy. Hodnotil se použitý mód skenování a volba mobilní fáze. Při analýze pomocí plynové chromatografie byla použita metoda derivativace pomocí trimethylsilylačního a methylačního činidla.

Při vyhodnocení chromatogramů naměřených pomocí kapalinové chromatografii nebyly zjištěny konkrétní sloučeniny. I po srovnání získaných poměrů m/z nebyly ve vzorcích nalezeny a identifikovány pesticidy, proto se přikročilo k analýze pomocí plynové chromatografie. Při této analýze bylo použito 2D GC z důvodu vyšší separační účinnosti tohoto systému.

Vzorkovače POCIS byly nasazeny na městské čistírně odpadních vod v Brně-Modřicích. Vzorkovače byly nasazeny v období listopad-prosinec a v měsíci březnu po dobu 28 dnů. U vzorků z prvního období bylo identifikováno více chemických sloučenin než v druhém období. Toto lze připsat vlivu počasí. U vzorků na vstupu bylo identifikováno mnohem více chemických individuí než na výstupu. Z tohoto lze usoudit, že je čistírna odpadních vod schopna odstranit různorodé látky. Některé látky mohou být do čistírny odpadních vod zaneseny z přiváděných povrchových vod. V obou obdobích byly některá farmaka zjištěna na vstupu do čistícího procesu, ale jiná byla prokázána na jeho výstupu.

## 6 SEZNAM POUŽITÝCH ZDROJŮ

- [1] PROKEŠ, Roman. *Využití pasivních vzorkovačů pro měření kontaminace povrchových vod.* Brno, 2006. 112 s. Diplomová práce. Masarykova Univerzita. Dostupné z WWW: <[http://is.muni.cz/th/63848/prif\\_m/DP11.pdf](http://is.muni.cz/th/63848/prif_m/DP11.pdf)>.
- [2] ČÁSLAVSKÝ, Josef. *Stabilita vzorků při pasivním vzorkování organických polutantů v ovzduší a ve vodách* [online], 30. 4. 2004 [cit. 2011-04-03]. Dostupné z WWW: <<http://www.sigmaaldrich.com/img/assets/14920/0611.pdf>>.
- [3] ZABIEGAŁA, Bożena, et al. Passive Sampling as a Tool for Obtaining Reliable Analytical Information in Environmental Quality Monitoring. *Analytical and Bioanalytical Chemistry*. 2010, vol. 396, no. 1, s. 273-296. ISSN 1618-2642.
- [4] JANKŮ, Josef; KOHOUT, Petr. *Vzorkování zemin a půdního vzduchu pro stanovení TOL* [online], 8. 4. 2008 [cit. 2011-04-03]. Dostupné z WWW: <[http://www.vscht.cz/uchop/udalosti/skripta/vzorkovani/9\\_Vzorkovani\\_zemin\\_a\\_pudniho\\_vzduchu.pdf](http://www.vscht.cz/uchop/udalosti/skripta/vzorkovani/9_Vzorkovani_zemin_a_pudniho_vzduchu.pdf)>.
- [5] VRANA, Branislav, et al. Passive Sampling Techniques for Monitoring Pollutants in Water. *TrAC Trends in Analytical Chemistry*. 2005, vol. 24, no. 10, s. 845-868. ISSN 0165-9936.
- [6] SEETHAPATHY, Suresh; GÓRECKI, Tadeusz; LI, Xiaojing. Passive Sampling in Environmental Analysis. *Journal of Chromatography A*. 2008, vol. 1184, no. 1-2, s. 234-253. ISSN 0021-9673.
- [7] BELARDI, R. P.; PAWLISZYN, J. B., . The Application of Chemically Modified Fused Silica Fibers in the Extraction of Organics from Water Matrix Samples and their Rapid Transfer to Capillary Columns. *Water Pollut. Res. J. can.* 1989, vol. 24, s. 179-191.
- [8] AULAKH, J., et al. A Review on Solid Phase Micro Extraction—High Performance Liquid Chromatography (SPME-HPLC) Analysis of Pesticides. *Critical Reviews in Analytical Chemistry*, 2005, vol. 35, no. 1. pp. 71 <last\_page> 85 DOI. ISSN 1040-8347.
- [9] *Labplus* [online]. 2003 [cit. 2011-04-11]. SPME. Dostupné z WWW: [http://www.labplus.co.kr/catalog/500000.asp?cat\\_no=501514&pro\\_sect1=100002&pro\\_sect1\\_name=%BF%AC%B1%B8%BC%D2%B8%F0%C7%B0&pro\\_sect2\\_name=Solid%20Phas e%20MicroExtraction%28SPME%29&pro\\_sect3\\_name=none&pro\\_sect4\\_name=none](http://www.labplus.co.kr/catalog/500000.asp?cat_no=501514&pro_sect1=100002&pro_sect1_name=%BF%AC%B1%B8%BC%D2%B8%F0%C7%B0&pro_sect2_name=Solid%20Phas e%20MicroExtraction%28SPME%29&pro_sect3_name=none&pro_sect4_name=none).
- [10] SPME Portable Field Sampler. In *SPME Portable Field Sampler with 100µm PDMS Fiber* [online]. Sigma-Aldrich, 1997 [cit. 2011-03-11]. Dostupné z WWW: [http://www.sigmaaldrich.com/etc/medialib/docs/Supelco/Product\\_Information\\_Sheet/4803.Par.0001.File.tmp/4803.pdf](http://www.sigmaaldrich.com/etc/medialib/docs/Supelco/Product_Information_Sheet/4803.Par.0001.File.tmp/4803.pdf).

- [11] NAMIESNIK, J., et al. Passive Sampling and/or Extraction Techniques in Environmental Analysis: A Review. *Analytical and Bioanalytical Chemistry*. 2005, vol. 381, no. 2, s. 279-301. ISSN 1618-2642.
- [12] OUYANG, G.; PAWLISZYN, J. SPME in Environmental Analysis. *Analytical and Bioanalytical Chemistry*. 2006, vol. 386, no. 4, s. 1059-1073. ISSN 1618-2642.
- [13] BALTUSSEN, E. , et al. Stir Bar Sorptive Extraction (SBSE), a Novel Extraction Technique for Aqueous Samples: Theory and Principles. *Journal of Microcolumn Separations*. 1999, vol. 11, no. 10, s. 737-747. ISSN 1040-7685
- [14] BICCHI, Carlo, et al. Stir Bar Sorptive Extraction (SBSE) and Headspace Sorptive Extraction (HSSE): An Overview. *LC GC North America* [online]. 01. 05. 2009, [cit. 2011-04-03]. Dostupné z WWW: <<http://chromatographyonline.findanalytichem.com/lcg/article/articleDetail.jsp?id=599227>>.
- [15] SRA Instruments [online]. 2011 [cit. 2011-04-06]. SBSE. Dostupné z WWW: <[http://www.srainstruments.com/P\\_120\\_SBSE.html](http://www.srainstruments.com/P_120_SBSE.html)>.
- [16] L'Hybride [online]. 2010 [cit. 2011-04-06]. GERSTEL GMBH & CO KG. Dostupné z WWW: <http://www.lhybride.info/fournis/fiche.php?IDEN=150>.
- [17] DAVID, Frank; TIENPOT, Bart; SANDRA, Pat. Stir-Bar Sorptive Extraction of Trace Organic Compounds from Aqueous Matrices. *LC GC North America*, 2003, vol. 21, no. 2, s. 108-118. Dostupné z WWW <<http://chromatographyonline.findanalytichem.com/lcg/data/articlestandard/lcgceurope/262003/61539/article.pdf>>. ISSN 1527-5949.
- [18] Gestel Twister [online]. 2009 [cit. 2011-04-06]. Twister. Dostupné z WWW: <[http://gerstelus.com/products\\_subcat.php?id=29](http://gerstelus.com/products_subcat.php?id=29)>.
- [19] VRANA, Branislav, et al. Membrane-Enclosed Sorptive Coating. An Integrative Passive Sampler for Monitoring Organic Contaminants in Water. *Analytical Chemistry*. 2001, vol. 73, no. 21, s. 5191-5200. ISSN 0003-2700.
- [20] GREENWOOD, Richard D. ; GREENWOOD, Royston; VRANA, B. Comprehensive Analytical Chemistry. vyd. Elsevier, Amsterdam;, 2007. Passive sampling techniques in environmental monitoring s. 124-349. ISBN 0444522255.
- [21] LITTEN, Simon; MEAD, Berton; HASSETT, John. Application of Passive Samplers (Pisces) to Locating a Source of PCBs on the Black River, New York . *Environmental Toxicology and Chemistry*. 1993, vol. 12, no. 4, s. 639-647. ISSN 07307268.
- [22] BELTON, Thomas, et al. Trackdown of Polychlorinated Biphenyls (PCBs) in a Municipal Sewer System: Pilot Study at the Camden County Municipal Utility Authority

(CCMUA). *Proceedings of the Water Environment Federation*, 2005, vol. 18, s. 212 - 229. Dostupné z WWW: <[http://www.state.nj.us/drbc/PMP\\_Resources/CCMUAstudy.pdf](http://www.state.nj.us/drbc/PMP_Resources/CCMUAstudy.pdf)>.

[23] ITRC Team. *Technology Overview of Passive Sampler Technologies*, Interstate Technology & Regulatory Council, 2006.

[24] POLITO, M. J. ; and HASSETT, P. J. *Sampling for hydrophobic organic compounds using passive in-situ concentration extraction sampler (PISCES)*. Boston. vyd, 2002. 147-154 s. Symposia Papers Presented Before the Division of Environmental Chemistry American Chemical Society. Dostupné z WWW: <<http://www.envirofac.org/Pre-prints/Vol%2042%20No%202/Principles/Papers%20147-154/p%20150.pdf>>.

[25] SPORADYK, J. G., et al. Upper Hudson River PCB Trackdown Using PISCES. [online]. New York : Bureau of Habitat, Division of Fish, Wildlife and Marine Resources New York State Department of Environmental Conservation, 2005 [cit. 2011-03-15]. Dostupné z WWW: <[http://www.dec.ny.gov/docs/wildlife\\_pdf/piscestext.pdf](http://www.dec.ny.gov/docs/wildlife_pdf/piscestext.pdf)>.

[26] LITTEN, Simon. Enhanced Toxics Monitoring from Final Chlorinated Wastewater Effluents and Surface Waters Using the Trace Organics Platform Sampler (TOPS). [online]. New York : Division of Water, Bureau of Watershed Assessment and Research. New York State Department of Environmental Conservation, 1997 [cit. 2011-03-15]. Dostupné z WWW: <[http://www.eighteenmilerap.com/TOPS\\_REPORT.pdf](http://www.eighteenmilerap.com/TOPS_REPORT.pdf)>.

[27] HUCKINS, J. ; TUBERGEN, M. ; MANUWEERA, G. Semipermeable Membrane Devices Containing Model Lipid: A New Approach to Monitoring the Bioavailability of Lipophilic Contaminants and Estimating their Bioconcentration Potential . *Chemosphere*. 1990, vol. 20, no. 5, s. 533. ISSN 00456535

[28] HUCKINS, J.; ALVAREZ, D. Semipermeable Membrane Device. [online]. Columbia : Columbia Environmental Research Center, U. S. Geological Survey, 2004 [cit. 2011-05-15]. Dostupné z WWW: <<http://www.cerc.usgs.gov/pubs/center/pdfDocs/SPMD.pdf>>.

[29] *Environmental Sampling Technologies* [online]. 2011 [cit. 2011-04-02]. SPMD. Dostupné z WWW: <<http://www.est-lab.com/spmd.php>>.

[30] *NOAA Ocean Explorer* [online]. 2006 [cit. 2011-03-11]. SPMD Canister. Dostupné z WWW: <<http://oceanexplorer.noaa.gov/technology/tools/spmds/media/open.html>>.

[31] KINGSTON, Jenny K., et al. Development of a Novel Passive Sampling System for the Time-Averaged Measurement of a Range of Organic Pollutants in Aquatic Environments . *Journal of Environmental Monitoring*, 2000, vol. 2, no. 5. pp. 487-495. ISSN 14640325.

[32] DE LA CAL, A. , et al. Evaluation of the Aquatic Passive Sampler Chemcatcher for the Monitoring of Highly Hydrophobic Compounds in Water. *Talanta*. 2008, vol. 76, no. 2, s. 327-332. ISSN 0039-9140.

- [33] University of Portsmouth: *Background to Passive Sampling Techniques and the Chemcatcher* [online]. Portsmouth: 2011, [cit. 2011-03-31]. Biological Sciences. Dostupné z WWW: <<http://www.port.ac.uk/departments/academic/biology/research/marinesciences/aquaticenvironmentalchemistry/background/>>.
- [34] Chromservis [online]. 2009 [cit. 2011-05-15]. Nafion dryers. Dostupné z WWW: <<http://chromservis.cz/item/nafion-dryers>>
- [35] PULKRABOVÁ, Jana, et al. Využití pasivního vzorkování vod a porézních médií při sledování organických polutantů. *Chemické listy : Laboratorní přístroje a postupy*. 2009, 103, 2, s. 159-165. Dostupné také z WWW: <[http://www.chemicke-listy.cz/docs/full/2009\\_02\\_159-165.pdf](http://www.chemicke-listy.cz/docs/full/2009_02_159-165.pdf)>.
- [36] SCHÄFER, Ralf Bernhard, et al. Performance of the Chemcatcher® Passive Sampler when used to Monitor 10 Polar and Semi-Polar Pesticides in 16 Central European Streams, and Comparison with Two Other Sampling Methods. *Water Research*. 2008, vol. 42, no. 10-11, s. 2707-2717. ISSN 0043-1354.
- [37] PETTY, Jimmie D. ; HUCKINS, James N. ; ALVAREZ, David A. *Device for Sequestration and Concentration of Polar Organic Chemicals from Water*. . The United Statesof America as represented by the Secretary of the Interior Washington, DC: patent number: 6,478,961. 12. 11. 2002, 2002.
- [38] Sostaqua [online]. 2009 [cit. 2011-04-06]. 10J SISTEMAS DE MUESTREO INTEGRADO. Dostupné z WWW: <<http://www.sostaqua.com/publications/publications.php?act=10&task=37>>.
- [39] EST-lab [online]. 2011 [cit. 2011-04-06]. Environmental Sampling Technologies. Dostupné z WWW: <<http://www.est-lab.com/pocis.php>>
- [40] C. E. Instruments [online]. 2010 [cit. 2011-04-06]. Isolute ENV+. Dostupné z WWW: <<http://www.cethailand.com/index.php?lay=show&ac=article&Id=538666956&Ntype=32>>
- [41] ALVAREZ, David A. , et al. Chemical and Toxicologic Assessment of Organic Contaminants in Surface Water using Passive Samplers. *Journal of Environmental Quality*. 2008, vol. 37, no. 3, s. 1024-1033. ISSN 1537-2537.
- [42] BIDWELL, Joseph, et al. Occurrence of Organic Wastewater and Other Contaminants in Cave Streams in Northeastern Oklahoma and Northwestern Arkansas. *Archives of Environmental Contamination and Toxicology*. 2010, vol. 58, no. 2, s. 286-298. ISSN 0090-4341.
- [43] TOGOLA, Anne; BUDZINSKI, Helene. Development of Polar Organic Integrative Samplers for Analysis of Pharmaceuticals in Aquatic Systems. *Analytical Chemistry*. 2007, vol. 79, no. 17, s. 6734-6741. ISSN 0003-2700.

- [44] HOLČAPEK, Michal. Spojení hmotnostní spektrometrie a separačních technik. [online]. 2011 [cit. 2011-05-15]. Dostupné z WWW: <[http://holcapek.upce.cz/teaching/MS06\\_Spojeni\\_separacni\\_MS.pdf](http://holcapek.upce.cz/teaching/MS06_Spojeni_separacni_MS.pdf)>.
- [45] VOLKA, Karel; FOGL, Jaroslav; POPL, Milan et al. *Analytická chemie II.* 1. vyd. Praha : VŠCHT, 1997. 236 s. ISBN 80-708-0227-8
- [46] *Ciselniky.dasta.mzcr* [online]. 2010 [cit. 2011-05-15]. Vysokoúčinná kapalná chromatografie. Dostupné z WWW: <[http://ciselniky.dasta.mzcr.cz/cd\\_ds4/hypertext/AJALB.htm](http://ciselniky.dasta.mzcr.cz/cd_ds4/hypertext/AJALB.htm)>.
- [47] HOLČAPEK, Michal. Ionizační techniky, [online]. 2011 [cit. 2011-03-15]. Dostupné z WWW: <[http://holcapek.upce.cz/teaching/MS02\\_03\\_Ionizacni\\_techniky.pdf](http://holcapek.upce.cz/teaching/MS02_03_Ionizacni_techniky.pdf)>.
- [48] CVAČKA, Josef. Detekce ve vysoko účinné kapalinové chromatografie. [online], 2010 [cit. 2011-03-15]. Dostupné z WWW: <http://web.natur.cuni.cz/~analchem/bosakova/hplc3.pdf>
- [49] PEGASUS 4D GCxGC-TOFMS, [online]. Leco Corporation, 2008 [cit. 2011-03-15]. Dostupné z WWW: <[http://www.leco.com/products/sep\\_sci/pegasus\\_4d/pdf/PEGASUS\\_4D\\_GCxGC-TOFMS\\_209-183.pdf](http://www.leco.com/products/sep_sci/pegasus_4d/pdf/PEGASUS_4D_GCxGC-TOFMS_209-183.pdf)>.
- [50] PEGASUS 4D GCxGC-TOFMS, [online]. Leco Corporation, 2004 [cit. 2011-03-15]. Dostupné z WWW: <[http://www.alpha-pribor.com.ua/pdf/Pegasus4DBrochure\(209-161\).pdf](http://www.alpha-pribor.com.ua/pdf/Pegasus4DBrochure(209-161).pdf)>.
- [51] SRINIVASAN, T.G. . Development of a Reflectron Time-of-flight Mass Spectrometer for Non-Destructive Analysis of Isotope Ratios in Irradiated B C Pellets. [online], Fuel Chemistry Division Chemistry Group, IGCAR, 2010 [cit. 2011-03-18]. Dostupné z WWW: <<http://www.igcar.ernet.in/benchmark/science/31-sci.pdf>>
- [52] Guide to Derivatization Reagents for GC. *Buletin 909A* [online]. 2003, [cit. 2011-03-15]. Dostupný z WWW: <<http://www.sigmaaldrich.com/etc/medialib/docs/Supelco/Bulletin/t196909.Par.0001.File.tmp/t196909.pdf>>.
- [53] ŠIMEK, Petr. Derivativace v hmotnostní spektrometrii. In *Škola MS. Derivativace* [online]. České Budějovice : Biologické centrum AV ČR, v.v.i., Laboratoř analytické biochemie, 2008 [cit. 2011-03-15]. Dostupné z WWW: <[http://www.bclab.eu/pdf/E3.2-MSSchool\\_Y08\\_Sec.pdf](http://www.bclab.eu/pdf/E3.2-MSSchool_Y08_Sec.pdf)>.
- [54] BVK [online]. 2011 [cit. 2011-04-06]. ČOV Brno - Modřice. Dostupné z WWW: <<http://www.bvk.cz/o-spolecnosti/odvadeni-a-cisteni-odpadnich-vod/cov-brno-modrice/>>
- [55] CHARLESTRA, Lucner. DETECTION OF PESTICIDES IN WASHINGTON COUNTY (MAINE) SURFACE WATERS USING POLAR ORGANIC CHEMICAL

INTEGRATIVE SAMPLER (POCIS). In CHARLESTRA, Lucner. *POCIS project report*. [online]. University of Maine : [s. n. ], 2005 [cit. 2011-02-15]. Dostupné z WWW: <<http://www.maine.gov/dep/blwq/docmonitoring/swat/2004/POCIS.pdf>>.

[56] *Sigma-Aldrich* [online]. 2011 [cit. 2011-04-11]. Aldrich® diazomethane-generator with System 45. Dostupné z WWW: <[http://www.sigmaaldrich.com/catalog/ProductDetail.do?lang=en&N4=Z411736|ALDRICH&N5=SEARCH\\_CONCAT\\_PNO|BRAND\\_KEY&F=SPEC](http://www.sigmaaldrich.com/catalog/ProductDetail.do?lang=en&N4=Z411736|ALDRICH&N5=SEARCH_CONCAT_PNO|BRAND_KEY&F=SPEC)>.

## 7 SEZNAM POUŽITÝCH ZKRATEK A SYMBOLŮ

2D	dvojrozměrná
ACN	acetinitril
BSTFA	N,O-bis(trimethylsilyl)trifluoroacetamid
BTEX	benzen, toluen, ethylbenzen, xylen
$C_s(t)$	koncentrace analytu ve vzorkovači za dobu expozice
$C_w$	koncentrace analytu ve vodném prostředí
CA	acetátová celulóza
ČOV	čistírna odpadních vod
DAD	detektor diodového pole
DEET	N, N-diethyl-m-toluamid
ECD	detektor elektronového záchytu
FID	plamenoionizační detektor
GC	plynová chromatografie
GC/MS	plynová chromatografie ve spojení s hmotnostní spektrometrií
GCxGC-TOF MS	dvojrozměrná plynová chromatografie ve spojení s hmotnostní spektrometrií s analyzátorem doby letu
HPLC	vysokoúčinná kapalinová chromatografie
HPLC/MS	vysokoúčinná kapalinová chromatografie ve spojení s hmotnostní spektrometrií
$k_1, k_2$	rychlostní konstanty
$K_{OW}$	rozdělovací koeficient n-oktanol-voda
KOH	hydroxid draselný
LDPE	nízkohustotní polyethylen
MDMA	3,4-methylendioxymetamfetamin
MESCO	Membrane Enclosed Sorptive Coating Sampler
MF	mobilní fáze
MS	hmotnostní spektrometrie
$M_s$	množství analytu ve sběrném médiu
PAU	polycyklické aromatické uhlovodíky
PCB	polychlorované bifenyly

PDMS	polydimethylsiloxan
PES	polyethersulfonový
PISCES	Passive In-Situ Concentration Extraction Sampler
POCIS	Polar Organic Chemical Integrative Sampler
POPs	perzistentní organické polutanty
PTFE	polytetrafluoroethylen
$R_s$	konstanta úměrnosti
SBSE	Stir Bar Sorptive Extraction
SPE	extrakce na pevné fázi
SPMD	Solid Phase Membrane Device
SPME	Solid Phase Micro Extraction
TOF	analyzátor doby letu
TWA	časově vážený průměr
YAS	androgenní test
YES	estrogenový test

## **8 REJSTŘÍK OBRÁZKŮ**

Obr. 1: Rozdělení pasivních vzorkovačů [3], [6] .....	10
Obr. 2: Ukázka obou způsobů odběru vzorku, a) odběr z matrice, b) odběr z prostoru nad matricí [8].....	10
Obr. 3: a) vzorkovač SPME [9], b) schéma SPME používané k vzorkování vod [10] .....	11
Obr. 4: a) schéma SBSE [15], b) SBSE ve vialce [16] .....	12
Obr. 5: Schéma vzorkovače MESCO [20] .....	13
Obr. 6: Schéma PISCES [11] .....	14
Obr. 7: Držáky různého provedení pro expozici SPMDs [29] .....	14
Obr. 8: a) malý koš pro 1 – 2 držáky [29], b) velký koš pro 1 – 5 držáků SPMD [30] .....	15
Obr. 9: Základní konfigurace vzorkovače Chemcatcher [32] .....	15
Obr. 10: a) Schéma POCIS [38], b) POCIS ve skutečnosti [39].....	17
Obr. 11: a) Nosič tří disků POCIS v malém koší; b) Velký koš na vzorkovače, v popředí vzorkovače POCIS a SPMD na nosičích [39].....	22
Obr. 12: Schéma nakládání s vzorkovači POCIS [20] .....	22
Obr. 13: Schéma kapalinového chromatografu s hmotnostním spektrometrem [44] .....	23
Obr. 14: Schéma napojení MS na HPLC [44].....	24
Obr. 15: Schéma GCxGC-TOF MS [49] .....	25
Obr. 16: Reakce kyseliny dekanové s diazomethanem .....	26
Obr. 17: Reakce kyseliny oktanové s BSTFA.....	26
Obr. 18: Blokové schéma ČOV Brno - Modřice.....	27
Obr. 19: Zakreslení míst odběru v ČOV Brno Modřice.....	29
Obr. 20: a) aparatura pro výrobu diazometanu [56], b) fotografie z výroby diazometanu .....	34
Obr. 21: Chromatogram, zhodnocení negativního a pozitivního módu .....	35
Obr. 22: Chromatogram, zhodnocení volby mobilní fáze.....	35
Obr. 23: Chromatogram, vzorek odebraný na výstupu .....	36
Obr. 24: Chromatogram, vliv dle ročního období, období listopad – prosinec je modře, březen je zeleně.....	36
Obr. 25: Trojrozměrné zobrazení 2D chromatogramu vstupního vzorku po trimethylsilylaci	37
Obr. 26: Contour plot 2D chromatogramu vstupního vzorku po trimethylsilylaci.....	38

## **9 REJSTŘÍK TABULEK**

Tab. 1: Výhody a nevýhody pasivních vzorkovačů [2], [3], [4] .....	9
Tab. 2: Kombinace sorbantu a membrány pro různé sloučeniny [33] .....	16
Tab. 3: Některá léčiva zachycená vzorkovači POCIS a jejich struktura, 1. část.....	18
Tab. 4: Některá léčiva zachycená vzorkovači POCIS a jejich struktura, 2. část.....	19
Tab. 5: Některé drogy zachycené pomocí vzorkovače POCIS, MDMA je také znám pod názvem 3,4-methylendioxymetamfetamin .....	19
Tab. 6: Hormony zachycené vzorkovači POCIS .....	19
Tab. 7: Vybrané pesticidy stanovované pomocí POCIS, 1. část.....	20
Tab. 8: Vybrané pesticidy stanovované pomocí POCIS, 2. část.....	21
Tab. 9: Některé průmyslově vyráběné sloučeniny a jejich struktura. ....	21
Tab. 10: První expozice, vzorkovače na vstupu.....	38
Tab. 11: První expozice, vzorkovače na vstupu, pokračování tab. 10 .....	39
Tab. 12: První expozice, vzorkovače na výstupu.....	39
Tab. 13: První expozice, vzorkovače na výstupu, pokračování tab. 12 .....	40
Tab. 14: Druhá expozice, vstup.....	40
Tab. 15: Druhá expozice, vstup, pokračování tab. 14 .....	41
Tab. 16: Druhá expozice, výstup.....	41
Tab. 17: Vzorkovače exponované na vstupu, první expozice.....	42
Tab. 18: Vzorkovače exponované na výstupu, první expozice.....	42
Tab. 19: Vzorkovače exponované na výstupu, první expozice, pokračování tab. 18 .....	43
Tab. 20: Vzorkovače exponované na vstupu, druhá expozice .....	43
Tab. 21: Vzorkovače exponované na výstupu, druhá expozice .....	44

## **10 PŘÍLOHA**

### **10.1 Fotografie z průběhu získávání extraktu**



**Fotografie 1: POCIS před rozšroubováním**



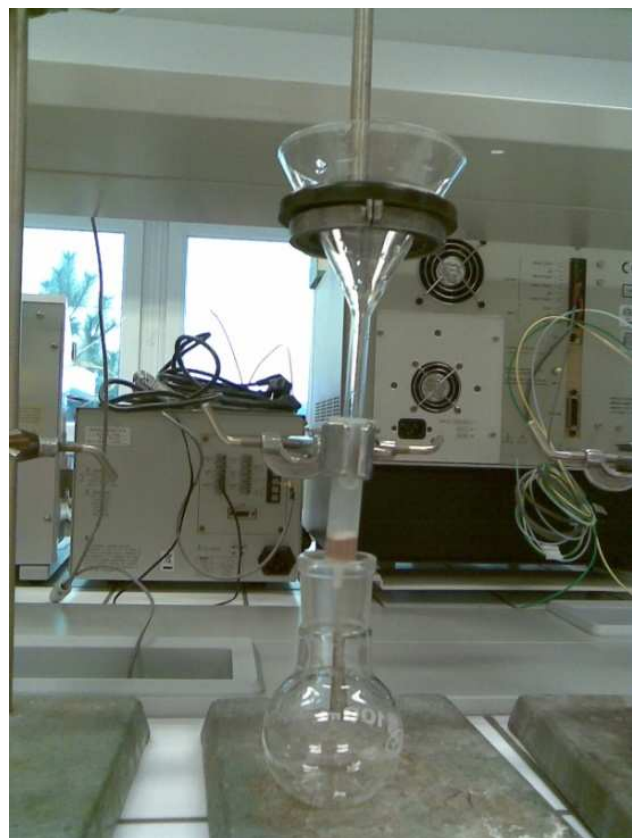
**Fotografie 2: POCIS po oddelení těsnícího kovového kroužku**



Fotografie 3: Sorbent vzorkovače POCIS na membráně



Fotografie 4: Aparatura na přenesení sorbentu do kolonky



Fotografie 5: Aparatura připravená na eluci směsí rozpouštědel



Fotografie 6: Aparatura na odchycení zbytkové vody pomocí bezvodého síranu sodného